



Vorlesung "Allgemeine Meteorologie"

Prof. Michael Kunz



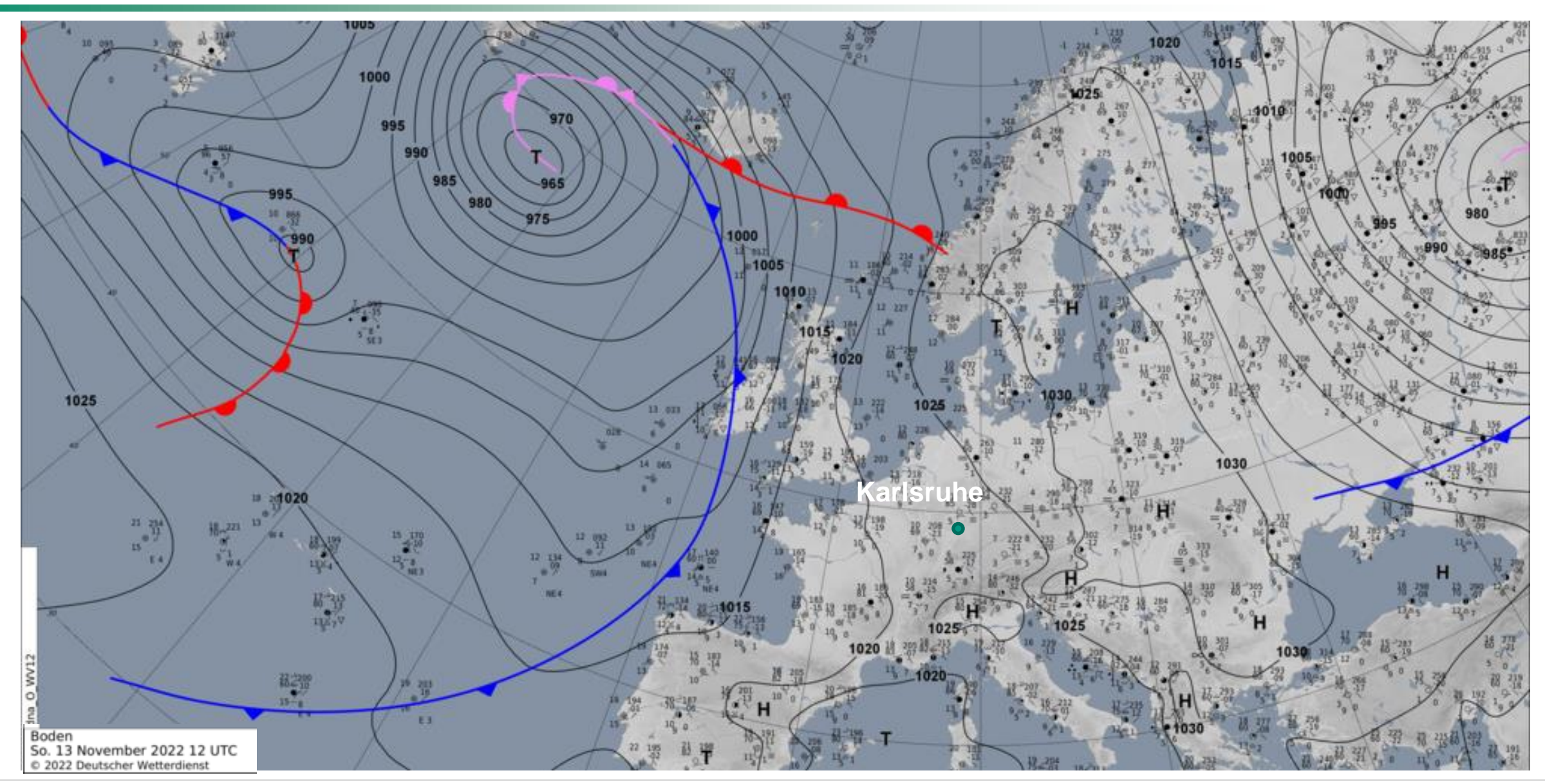




Das Wetter...

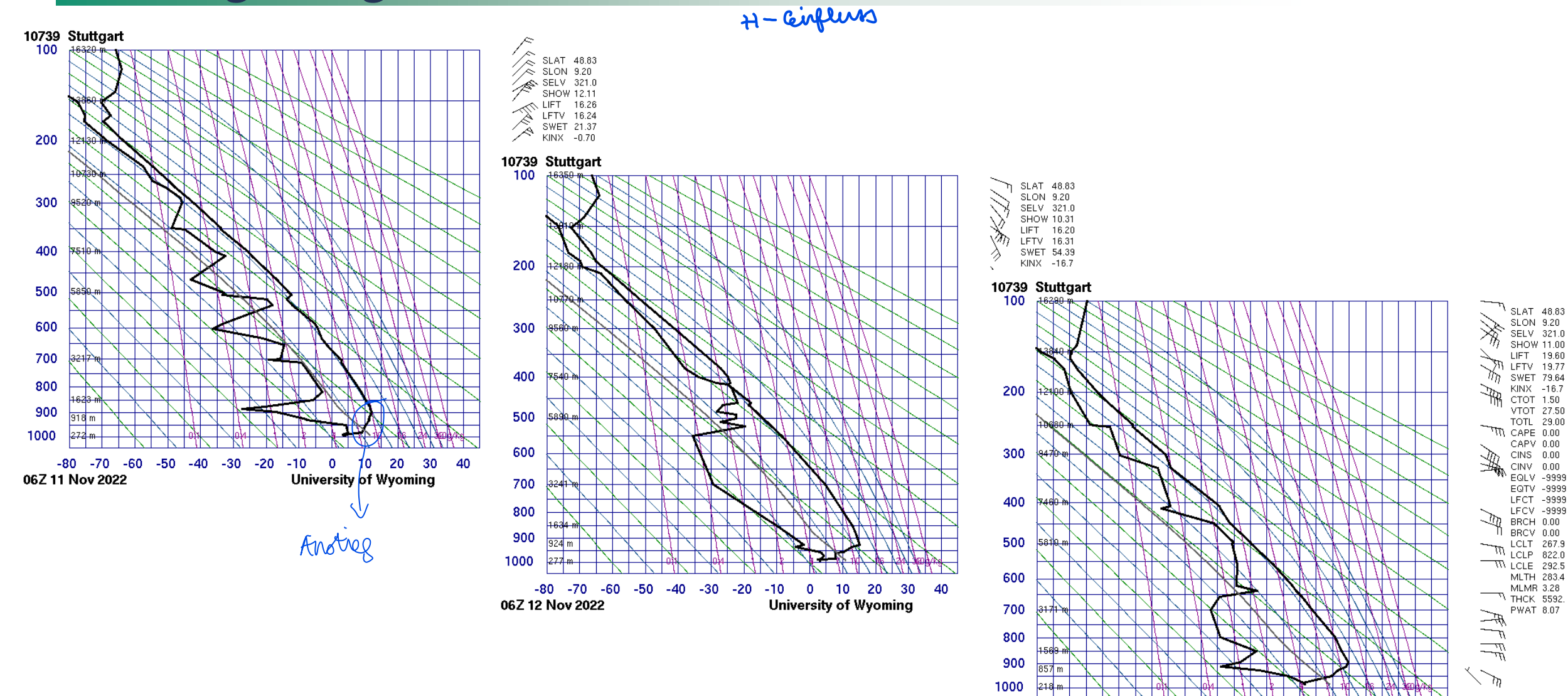


Bodenwetterkarte





Sounding Stuttgart





0 10 20

University of Wyoming

-60 -50 -40 -30 -20 -10

06Z 13 Nov 2022

Sounding Stuttgart



Satellit color

Sa. 12.11.2022, 09:00 Uhr MEZ

Sachelmann GmbH - Download nur für den privaten Gebrauch!

Bitte benutzen Sie zum Teilen die Share-Buttons oben rechts



Bamberg Darmstadt Bad Kreuznach Würzburg Trier Idar-Oberstein Michelstadt Worms Erlangen Mannheim **Bad Mergentheim** Nürnberg Merzig Kaiserslautern Heidelberg Neustadt Saarbrücken Weinstraße Schwäbisch Heilbronn Weißenburg Karlsruhe Pforzheim Aalen Baden-Stuttgart Baden Inge Schwäbisch Sarrebourg Dillingen Strasbourg Donau Reutlingen Offenburg Augsburg des-Vosges Balingen Biberach an der Riß Villingen-Schwenningen Landsberg Colmar Freiburg im Breisgau am Lech Mulhouse Konstanz Friedrichshafen Langenthal Biel/Bienne

Satellit color

So. 13.11.2022, 09:00 Uhr MEZ

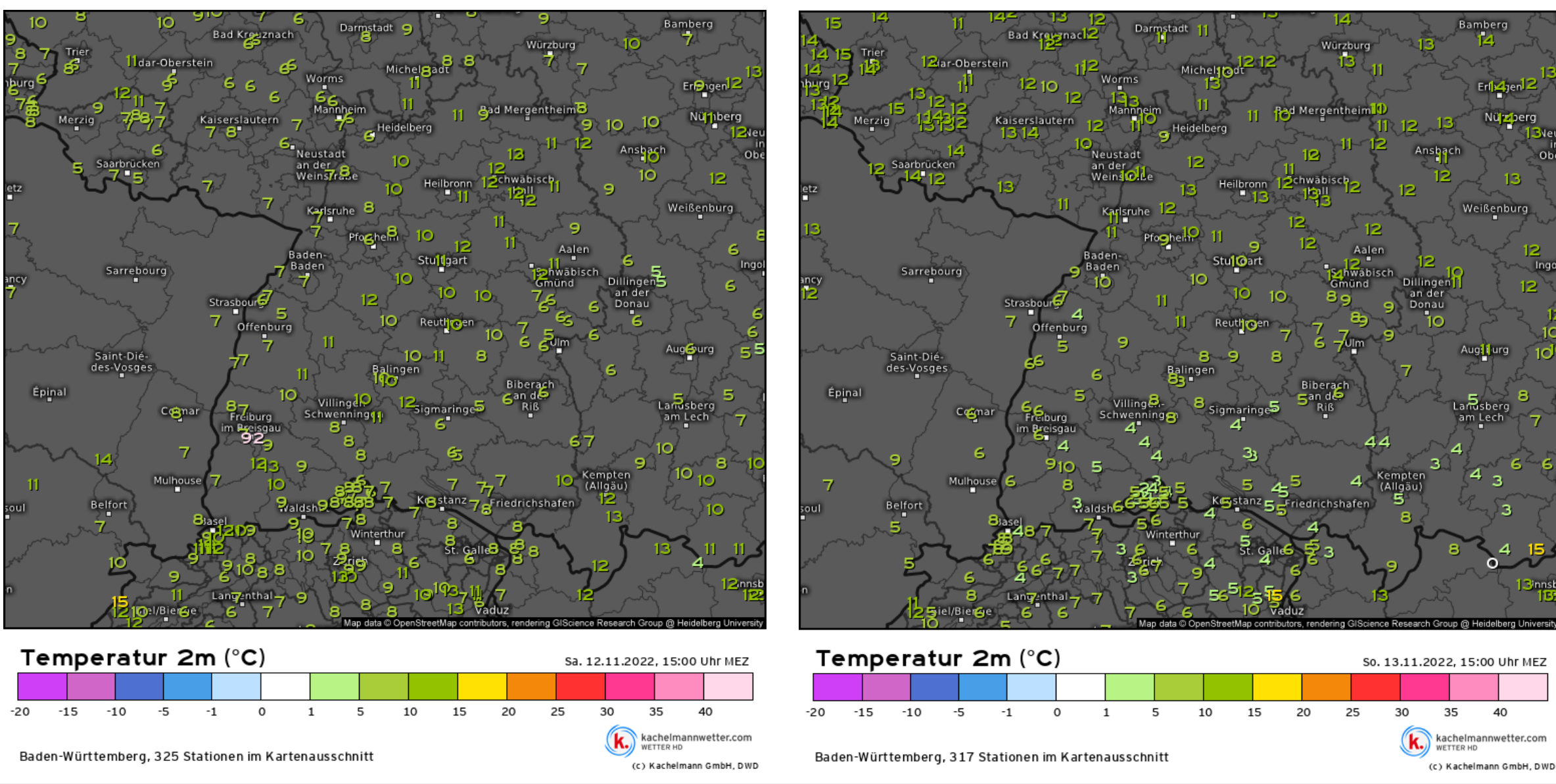
© Kachelmann GmbH - Download nur für den privaten Gebrauch! Bitte benutzen Sie zum Teilen die Share-Buttons oben rechts

Baden-Württemberg



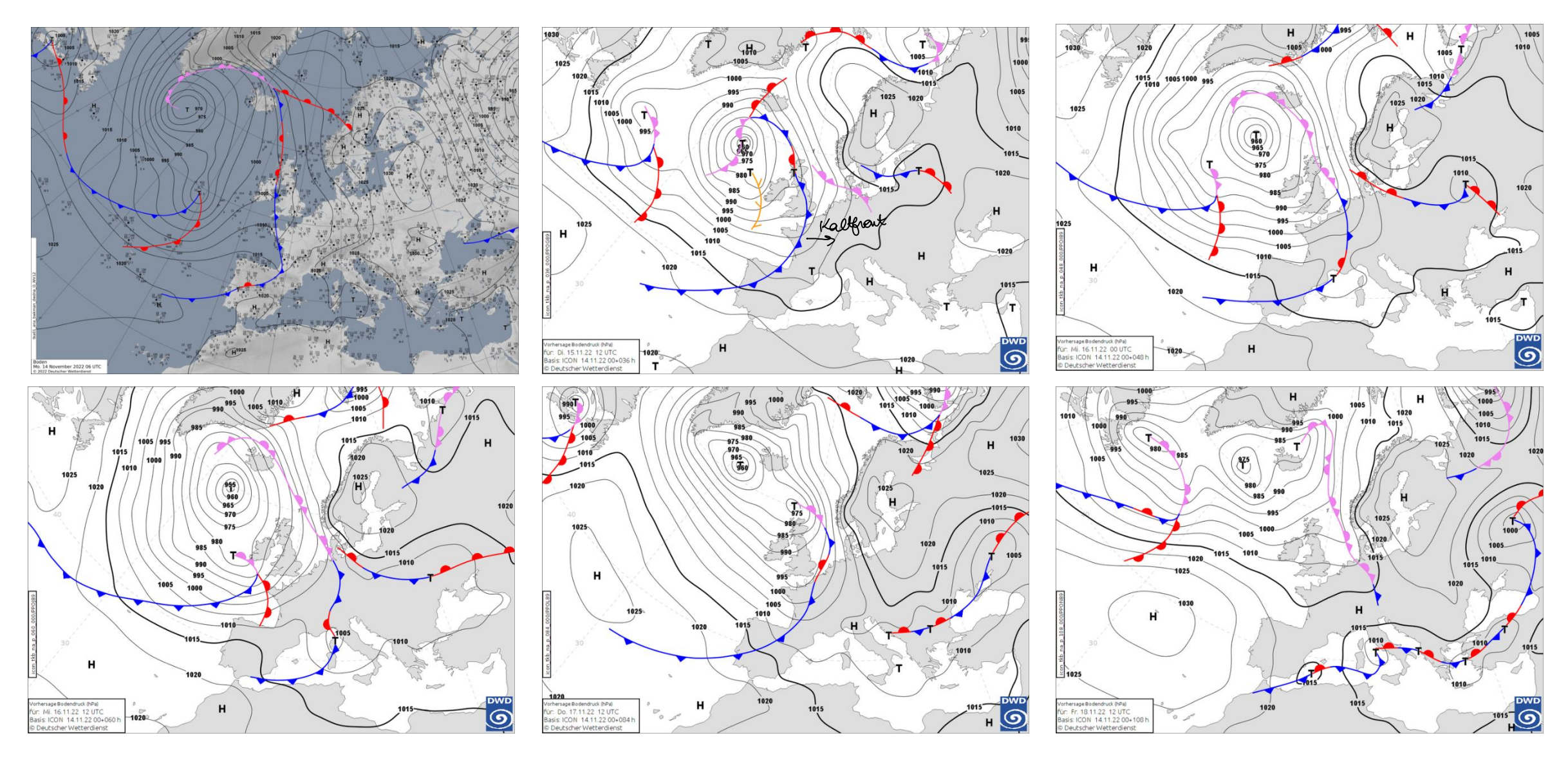
Baden-Württemberg

Sounding Stuttgart





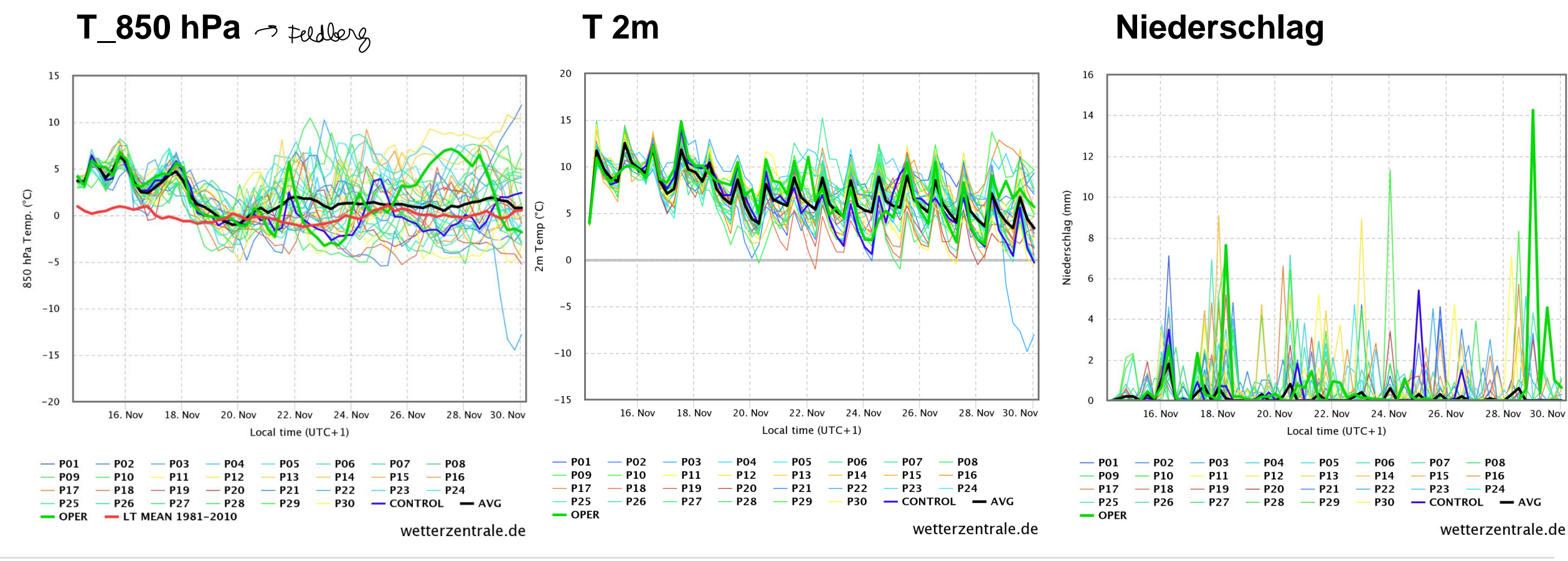
Bodenwetterkarte



Vorhersage: Ensembles



- Modell GFS (Global Forecast System) des amerik. Wetterdienstes NOAA
- 30 Ensemble Läufe
- Gitterpunkt Karlsruhe









Vorlesung "Allgemeine Meteorologie"

Prof. Michael Kunz

Kapitel 4: Vertikaler Aufbau der Atmosphäre



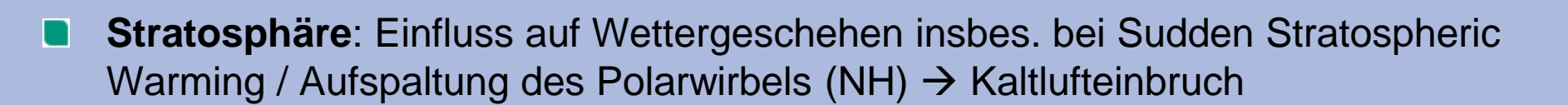
...Wiederholung

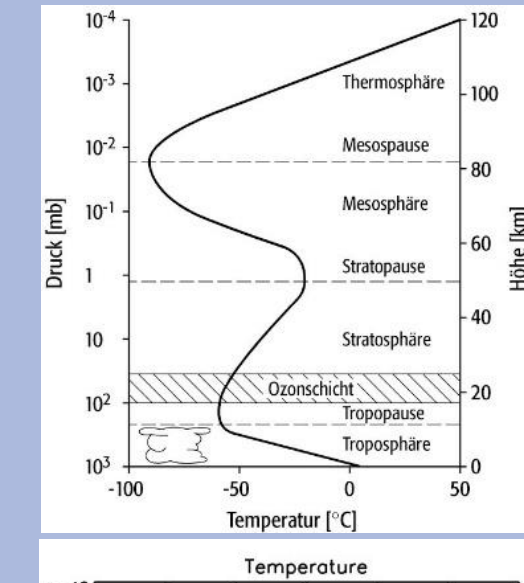
Letzte Vorlesung...

Niederschlag: Unterteilung in konvektiv und stratiform (Unterschiede: Hebungsgeschwindigkeit, Intensitäten, zeitl./räuml. Variabilität)

grenzpchicht: "schmatzie"

- Aufbau Atmosphäre nach Temperatur; Prozesse:
 - Strahlungsflussdivergenzen; Transport- und Vermischungsvorgänge;
 Kondensation/Verdunstung; chem. Reaktionen
- Troposphäre: Wettersysteme
 - mittlere Temperaturabnahme -0,65 K/100 m;
 - Planetare Grenzschicht (ABL): stärkster Tagesgang Temperatur
 - laminare Unterschicht (~ 10 mm),
 Prandtl-Schicht (Windzunahme; ~ 100 m),
 Ekman-Schicht (Winddrehung; 1-3 km hoch);
 darüber: freie Atmosphäre ströms 11 3 sebaren (unter keilang soda)
 - Höhe Troposphäre: 8-16 km; Höhe abhängig von Temperatur (geogr. Breite)



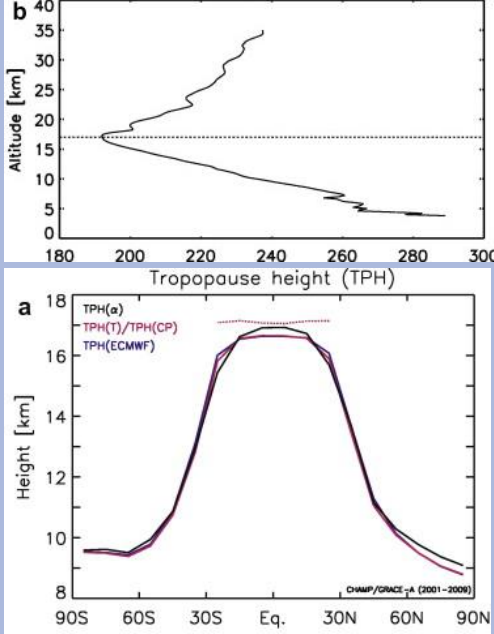


Nacht / Tag

Freie Atmosphäre

Ekman-Schicht

Prandtl-Schicht



agenda

4.1 Aufbau der Atmosphäre

- 4.1.1 Troposphäre
- 4.1.2 Stratosphäre
- 4.1.3 Mesosphäre
- 4.1.4 Thermosphäre

4.2 Hydrostatische Approximation

4.3 Modellatmosphären

- 4.3.1 Homogene Atmosphäre
- 4.3.2 Isotherme Atmosphäre & Barometrische Höhenformel
- 4.3.3 Polytrope Atmosphäre



Vorlesung Allgemeine Meteorologie

11

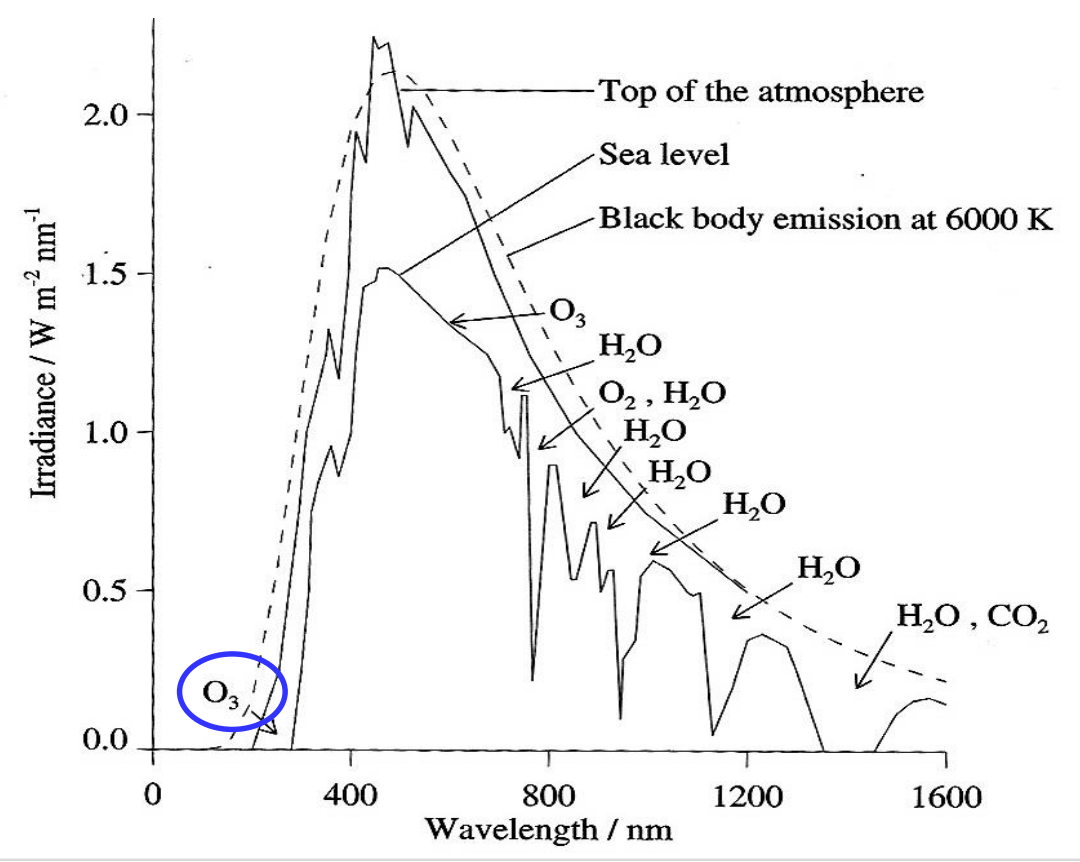
Fragen über Fragen...

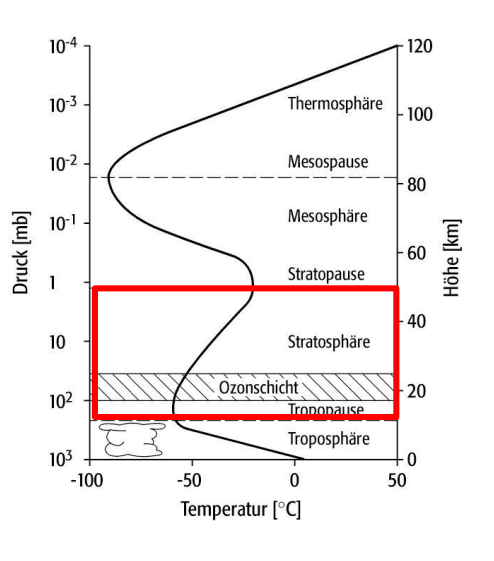
- Was sind die beiden wesentlichen Effekte von Ozon in der Stratosphäre?
- Wodurch ist das Ozonloch entstanden? CFC 11, CFC 12
- In welcher Hemisphäre ist das Ozonloch am stärksten? Wo? Wieso? in sidhemighaic am stärksten, v.a wer sidge (ecrochen wateralien)

 Antarktic deutlich ecoller als Arklis, stärkeren bervistenten wirkel -> spez. Walken gebieket

Ozon O₃ Stratosphäre

- Absorption energiereicher UV-Strahlung
- Entwicklungsgeschichtlich: erste Photosynthese durch Algen im Meer, Entstehung Sauerstoff bis Aufbau Ozonschicht (auch Leten auf Erde with right)

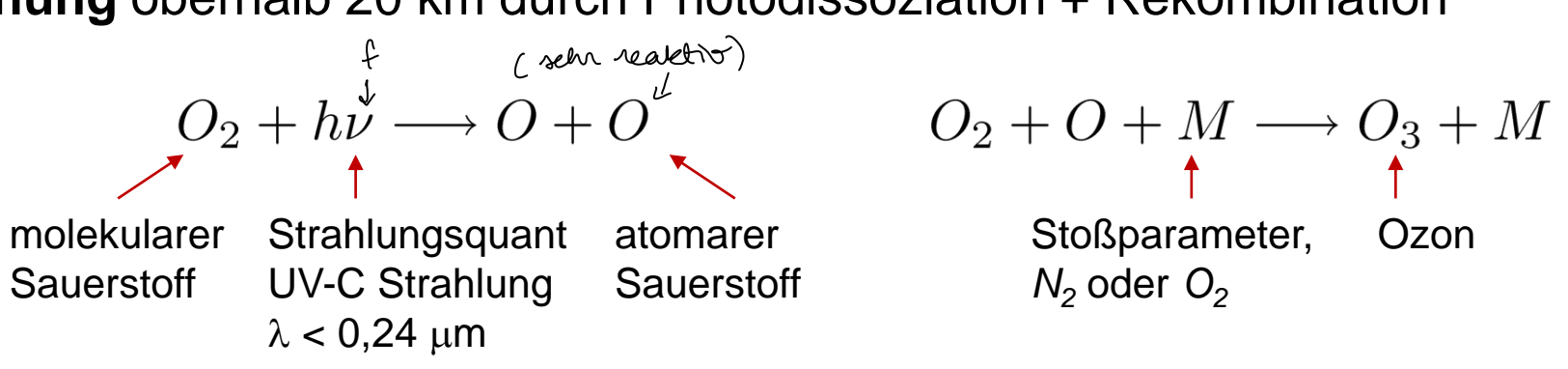




Ozon O₃ Stratosphäre

strahlungsquont out 02

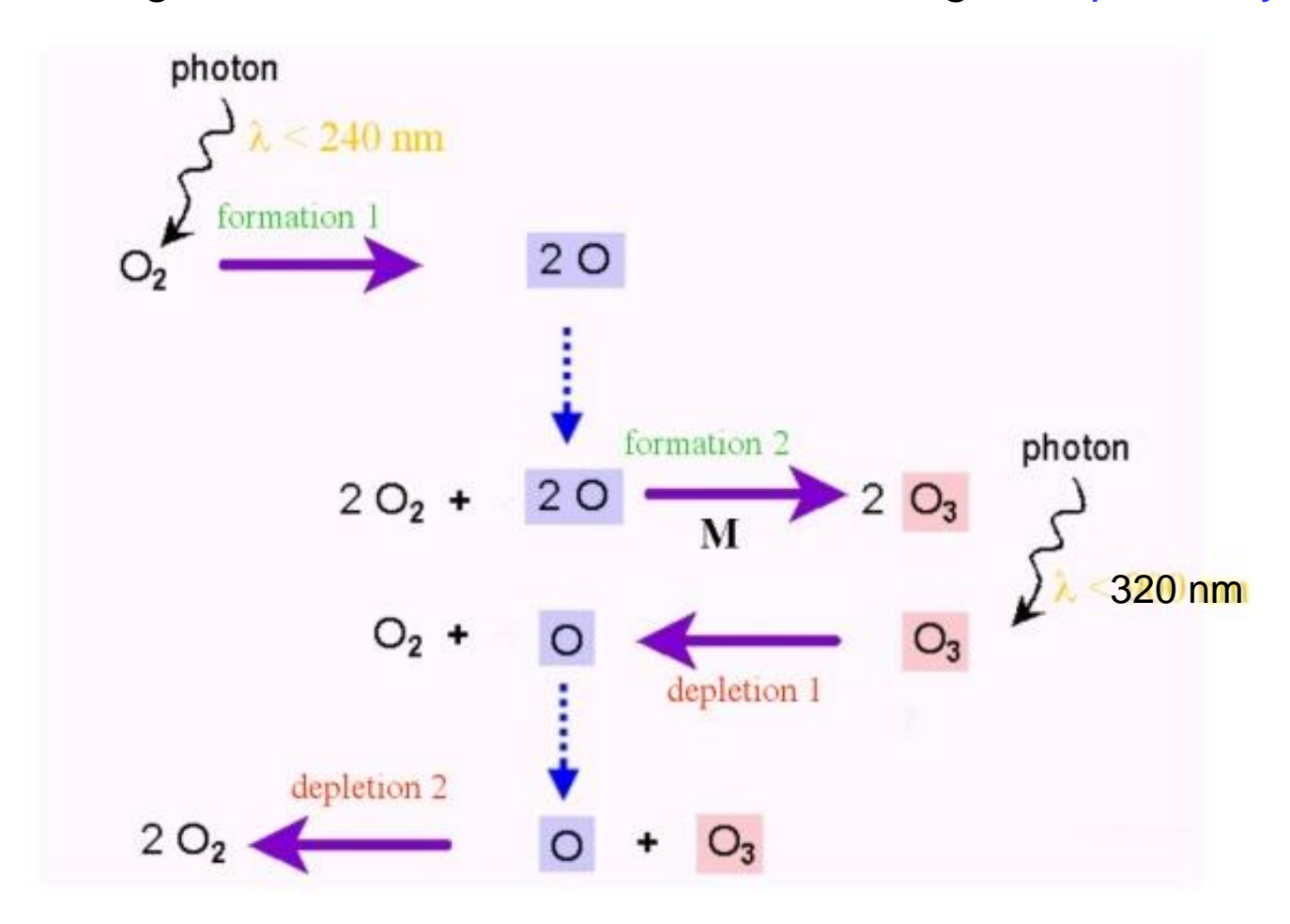
Ozonentstehung oberhalb 20 km durch Photodissoziation + Rekombination



- Bildungsrate: ca. 5×10^{31} Mol s⁻¹ bzw. $1,25 \times 10^{11}$ t a⁻¹ (selection)
- Zerfall von Ozon (natürlich): Photodissoziation bzw. Rekombination

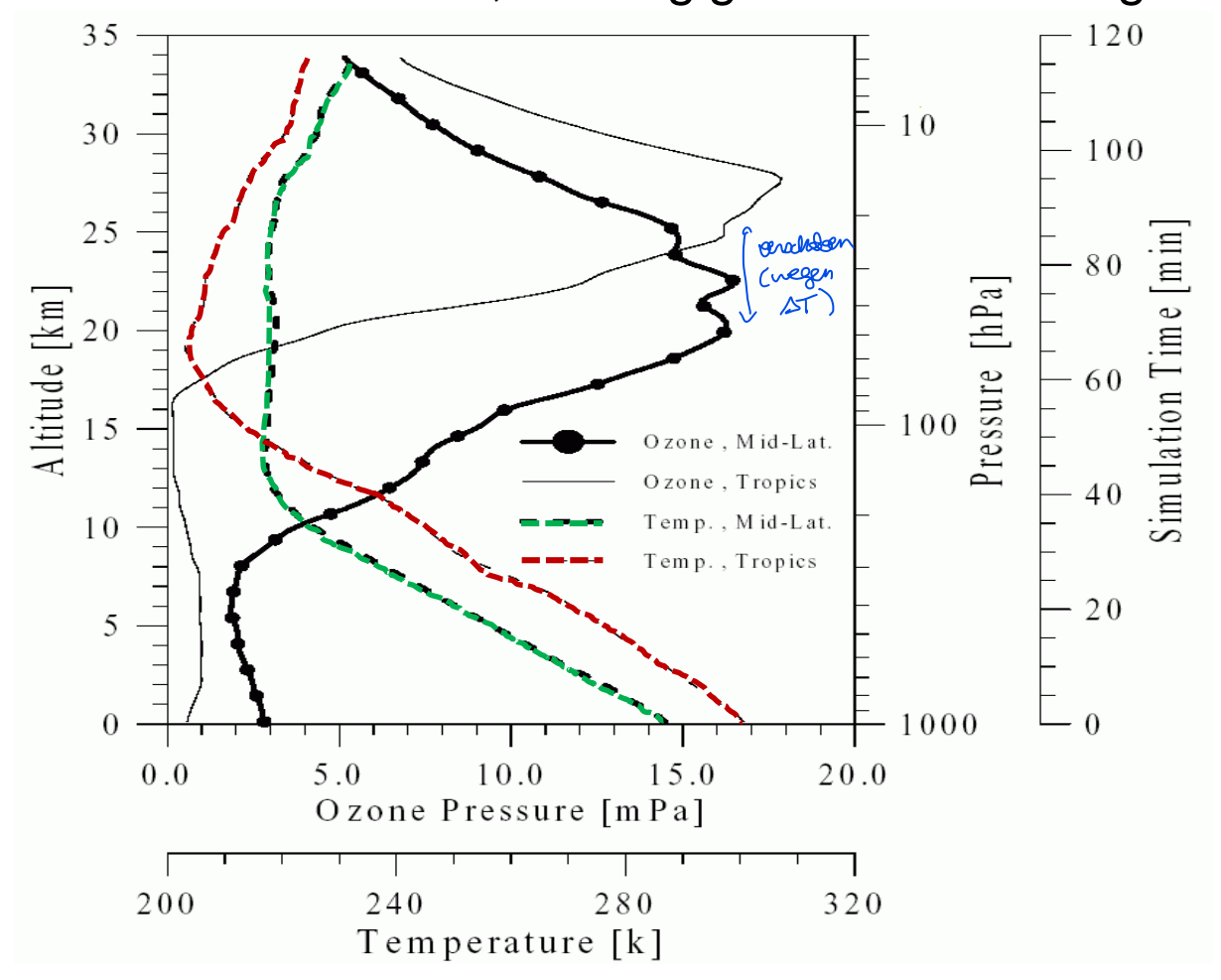
Ozon O₃ Stratosphäre

Photochemisches Gleichgewicht durch Zerfall und Neubildung: Chapman Zyklus (1930)



Ozon O₃ Stratosphäre

Maximum Ozonkonzentration 20-30 km; abhängig von Einstrahlung



gloppelt mit Vertibalprofil T (den mehr UV-Absorp.)

(FZ Jülich, 2005)

Ozon O₃ Stratosphäre

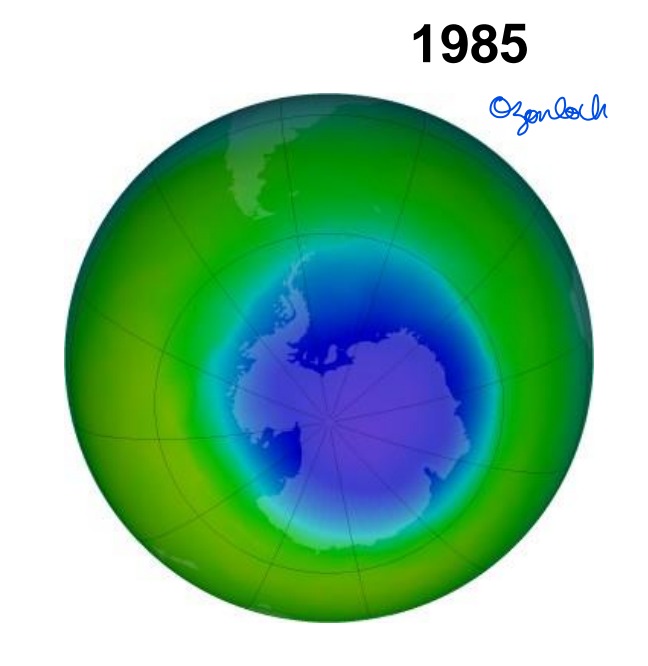
Ozonabbau durch katalytische Reaktion mit Hilfe freier Radikale (ungesättigte Elektronenbindungen), z.B. OH, HO₂, NO, NO₂, Cl

Ergebnis: $O_3 + O \Longrightarrow 2O_2$

Reaktionspartner Cl bleibt erhalten

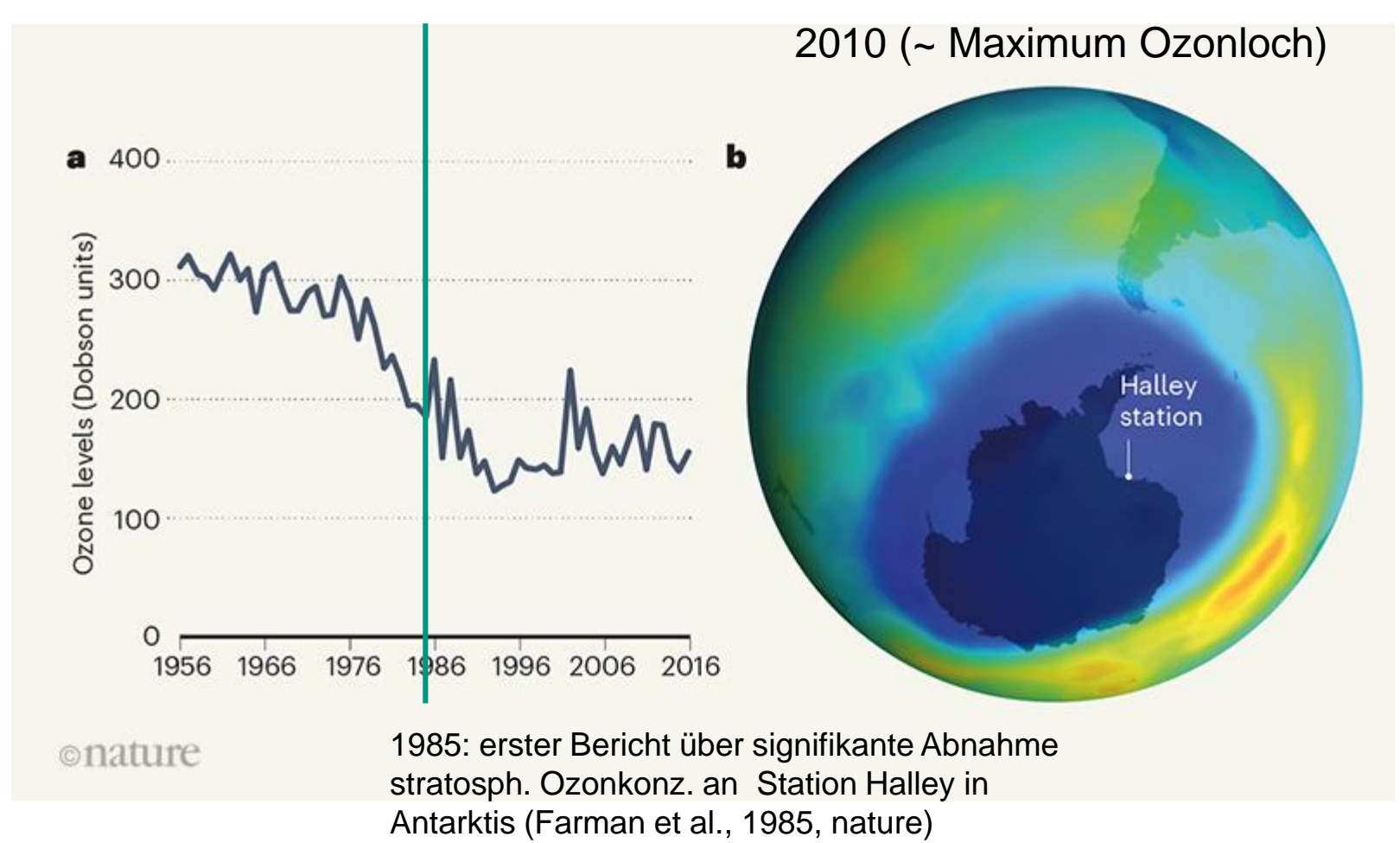
Entfernung aus Stratosphäre (nach langer Zeit)

z.B.
$$Cl + CH_4 \longrightarrow HCl + CH_3$$



= CKW langrenner Abban

Ozon O₃: Ozonloch Südhalbkugel



(Solomon, 2019, nature)

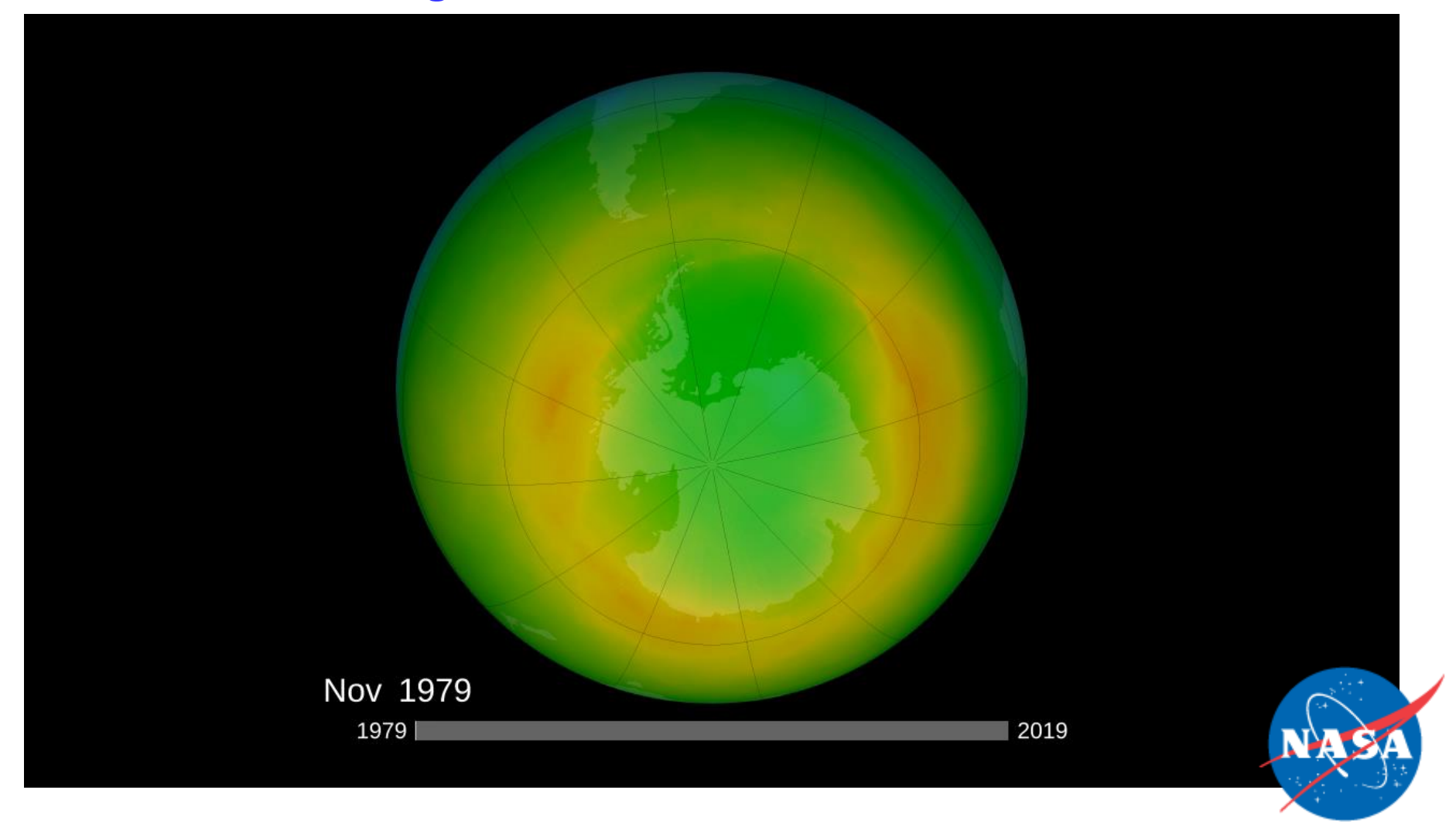


Ozon O₃: Ozonloch Südhalbkugel 1 Monat NOAA/CMDL South Pole Ozonesonde Data NOAA/CMDL South Pole Ozonesonde Data Temperature (deg C) Temperature (deg C) -80 -70 -60 -50 -40 -30 -100 -90 -80 -70 -60 -50 -40 -30 -100 -90Pre-Ozone Hole: 4 August 2002 - 276 DU Pre-Ozone Hole: 4 August 2002 - 276 DU 21 October 2002 - Total Ozone - 152 DU 27 September 2002 - Total Ozone - 375 DU - Temperature - Temperature 35 35 30 30 25 Altitude (km) Altitude (km) 20 Ozen Tropop. 10 10 5 5 6b 20 25 10 25 15 15 Ozone Partial Pressure (mPa) Ozone Partial Pressure (mPa)

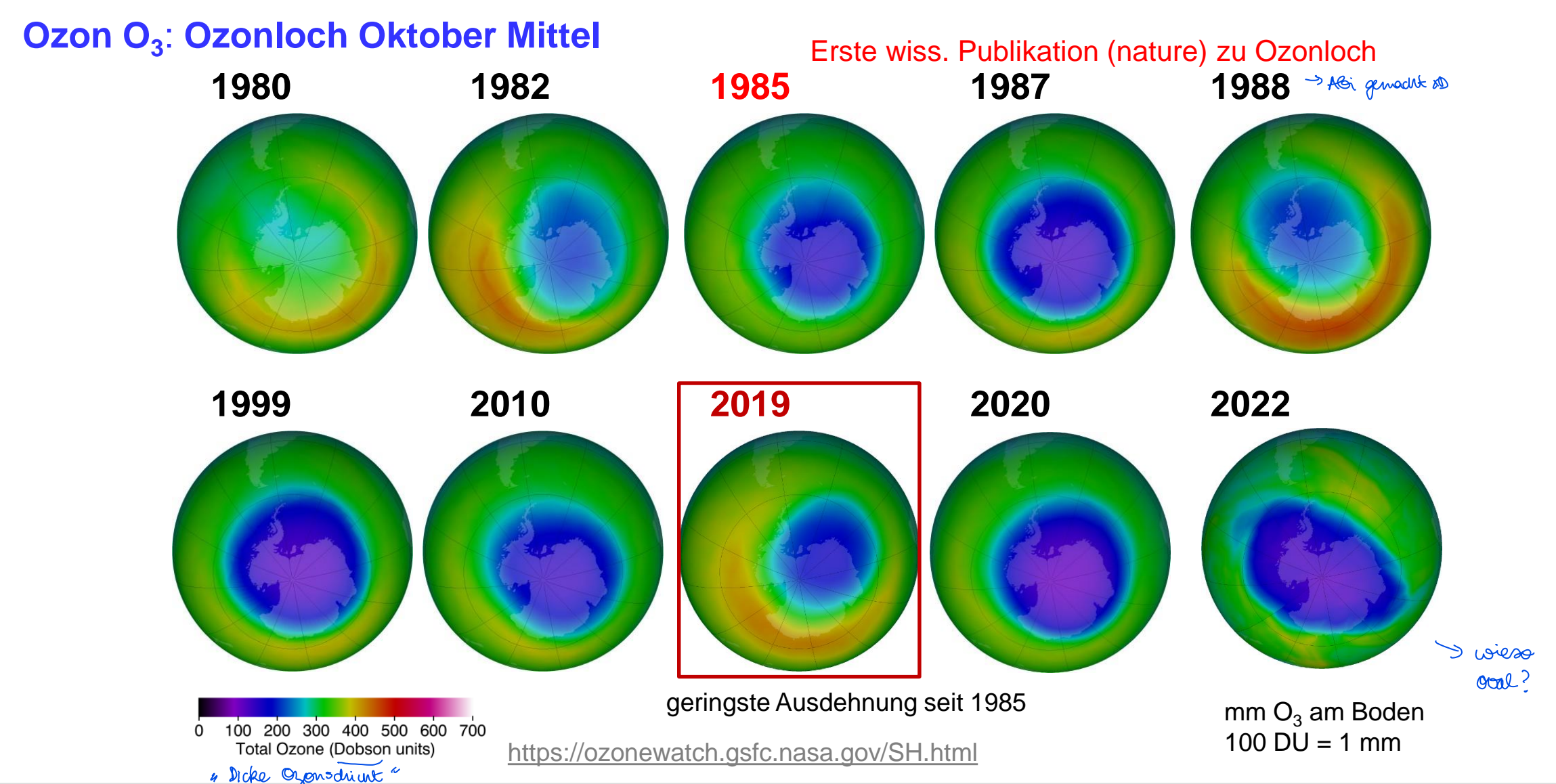
Figure 6a and 6b. Ozone soundings made at the South Pole on September 27, 2002 and October 21, 2002. The August 4, 2002 "pre-ozone hole" sounding shows no ozone depletion. The September 27, 2002 sounding shows partial ozone depletion between 14-18 km with high ozone amounts aloft. This sounding was taken when the "ozone hole" had been displaced off the pole towards the South American continent. The October 21, 2002 sounding is taken when the "ozone hole" had moved back over the south polar region.

(NOAA, 2002)

Ozon O₃: Ozonloch Südhalbkugel







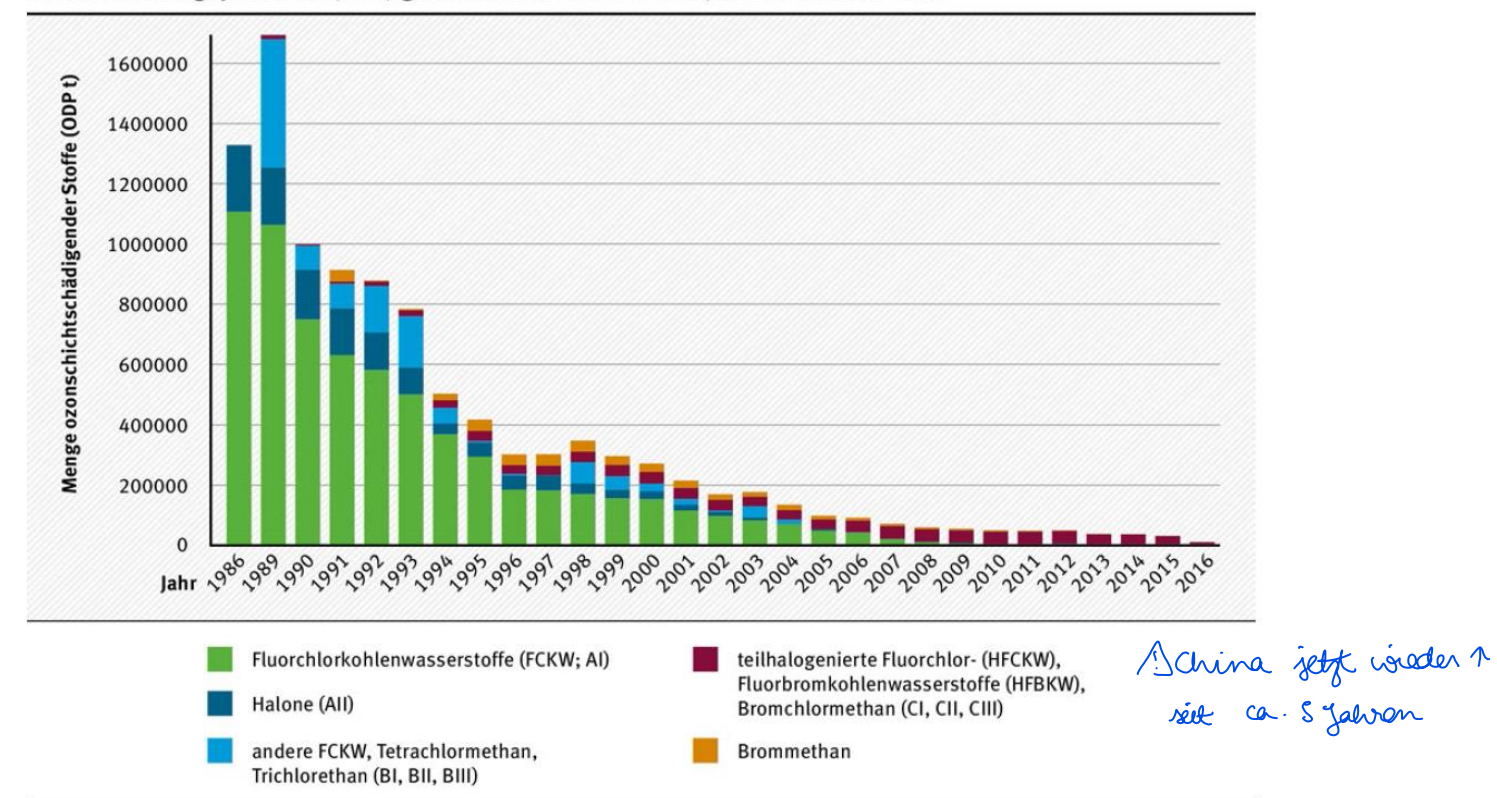






- Ozonschicht-zerstörende Gase: FCKW
- Lebensdauer CFC-11: ~45 Jahre; CFC-12: ~100 Jahre
- Aktivierung über PSC bei sehr tiefen Temperaturen

Weltweiter Verbrauch der im Montrealer Protokoll verankerten Ozonschicht schädigenden Stoffe in nach Ozonzerstörungspotenzial (ODP) gewichteten Tonnen in den Jahren 1986 bis 2016.

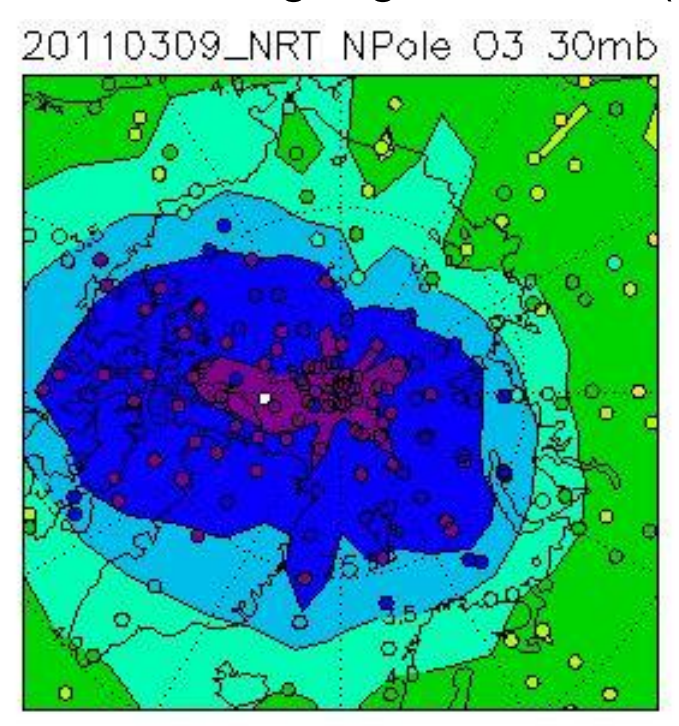


Quelle: UNEP [10]



Ozon O₃: Ozonloch Nordhalbkugel

→ Temperaturen meist zu hoch, um PSC zu bilden / Chlor zu aktivieren; hier v.a. Beteiligung von Brom (Br)-Verbindungen



Sehr stark reduzierter Ozongehalt in der Stratosphäre über der Arktis (violett und blaue Farben entsprechen sehr geringen Ozonkonzentrationen).

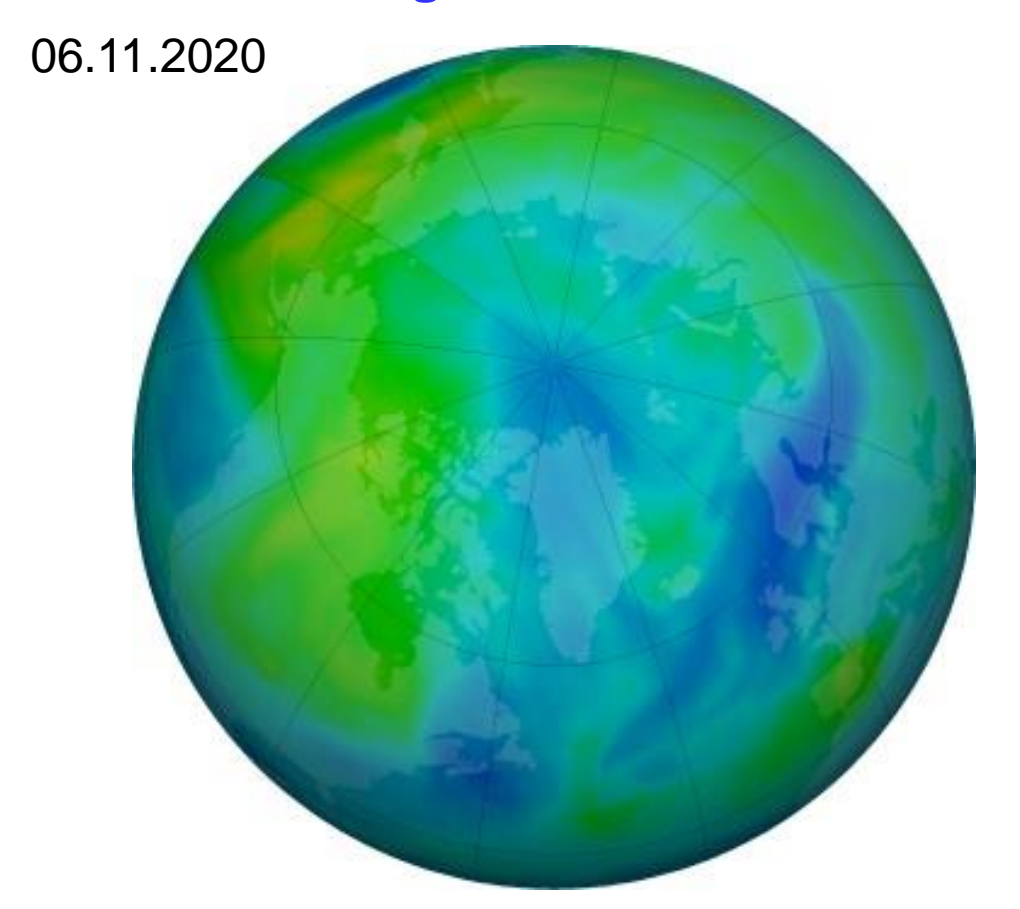
(Quelle: Univ. of Oxford / KIT / IMK-ASF) KIT PI 040/2011

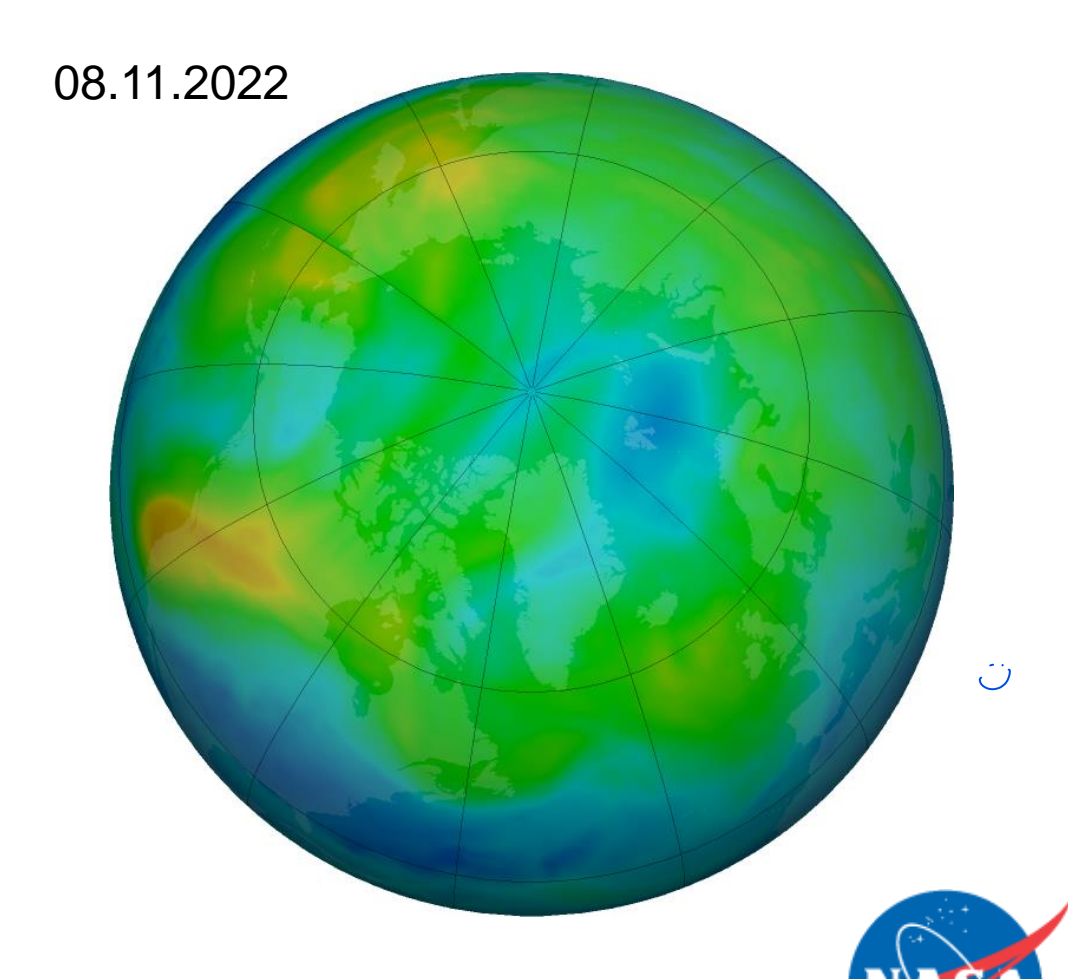


Messkampagne IMK-ASF (Leitung) Sept. 2014 zur Messung von Gasen, die die Ozonschicht zerstören



Ozon Nordhalbkugel





0 100 200 300 400 500 600 700 Total Ozone (Dobson units)

https://ozonewatch.gsfc.nasa.gov/SH.html

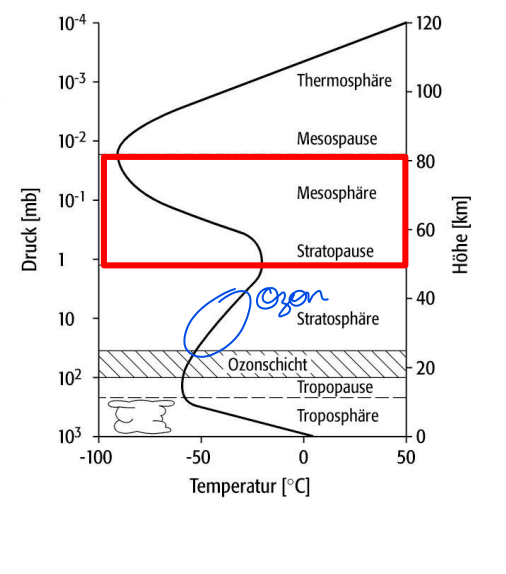




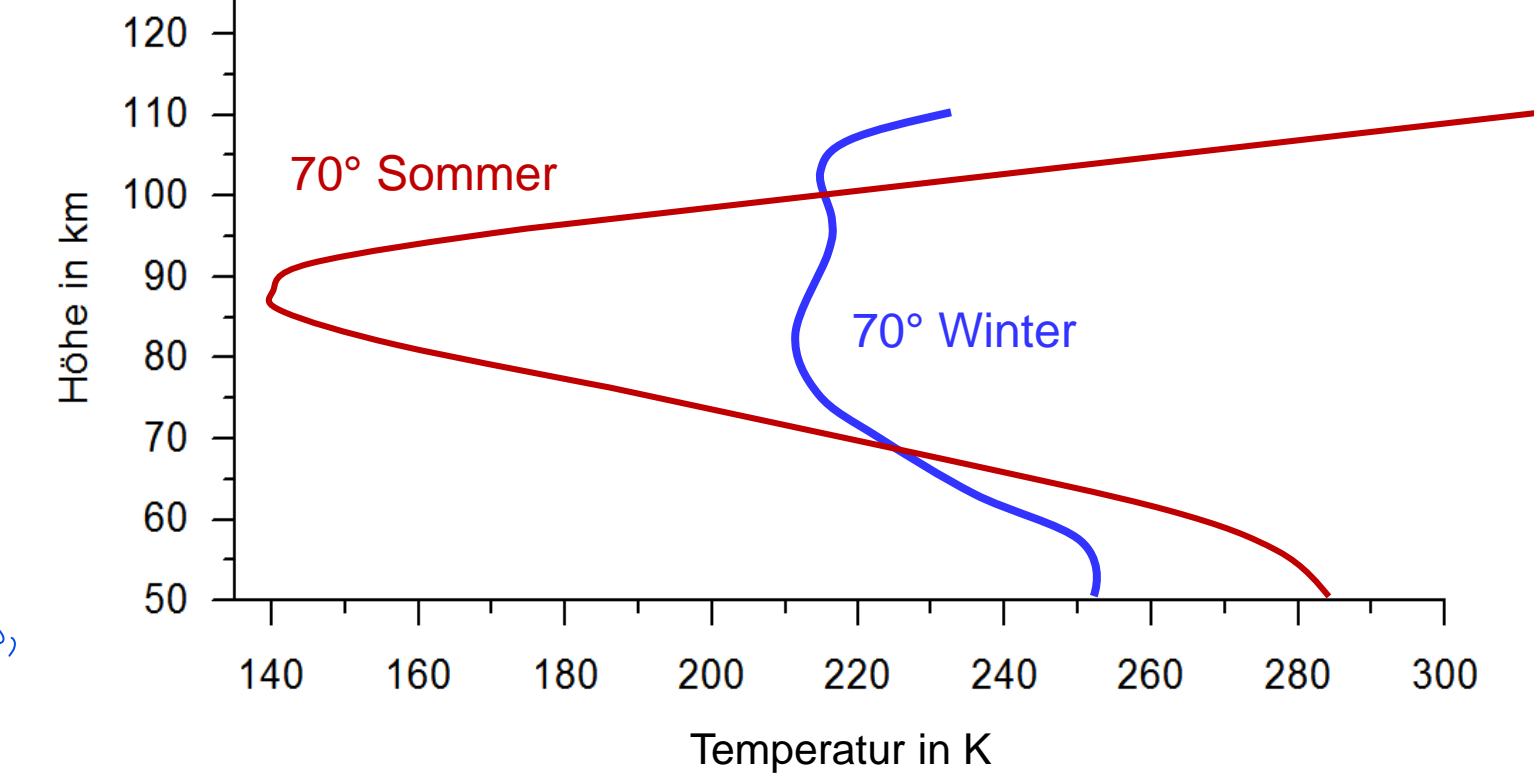


4.1.3 Mesosphäre

- Schicht von ca. 50 bis 80 km Höhe (oberhalb Stratopause)
- Sehr geringe Ozonkonzentration ⇒ Abnahme Temperatur bis ca. 80 km (Mesopause)
- Jahresgang Temperatur: Zirkulation vom Sommer- zum Winterpol







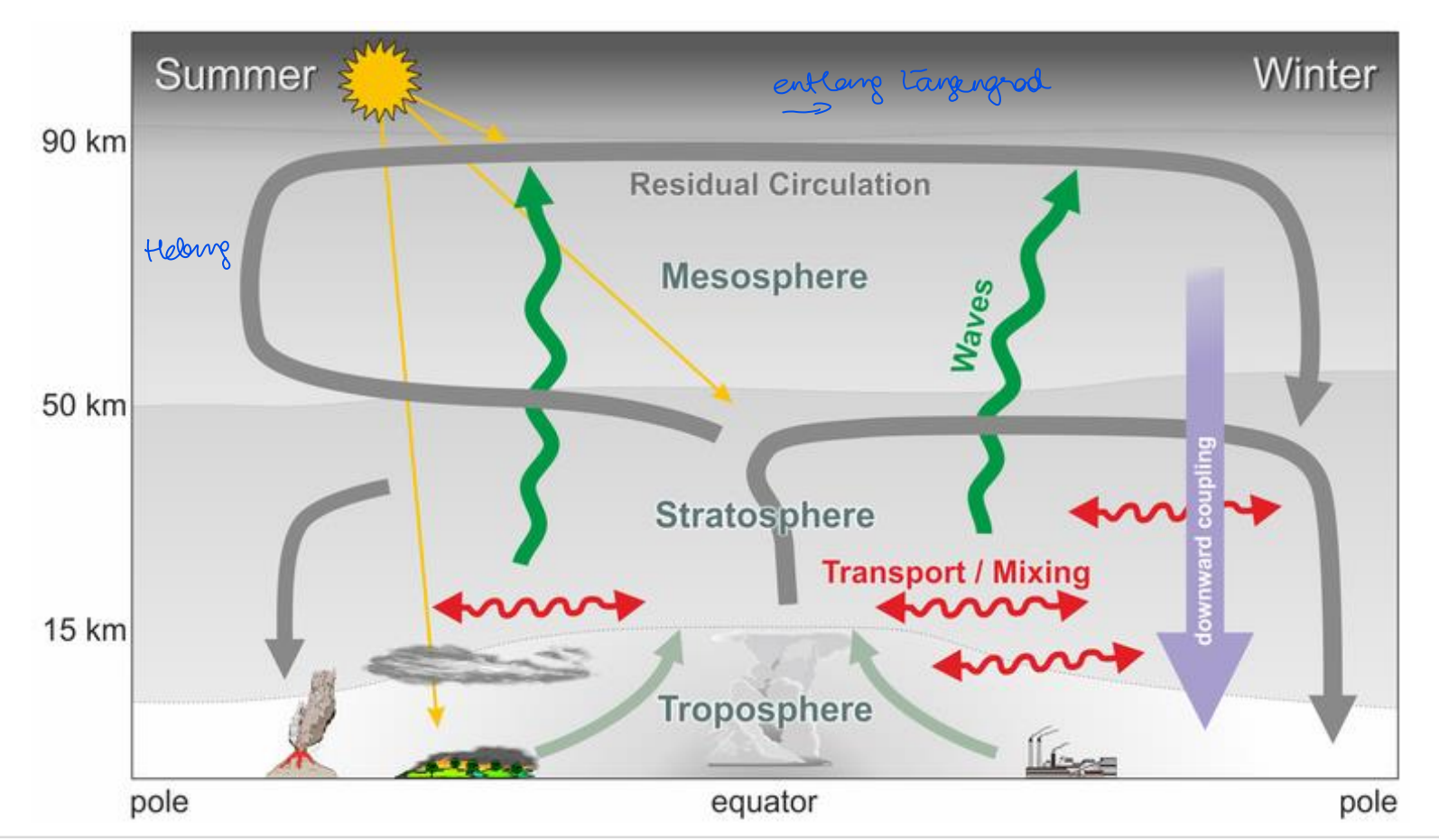
do don Drude opinees (innere to muss

fin Ansdehnung sinken

14.11.2022

4.1.3 Mesosphäre

- Zirkulation vom Sommer- zum Winterpol
 - Aufwärtstransport + adiabatische Abkühlung im Bereich Sommerpol
 - Deutlich tiefere Temperaturen im Sommer (100 bis 150 K) als im Winter







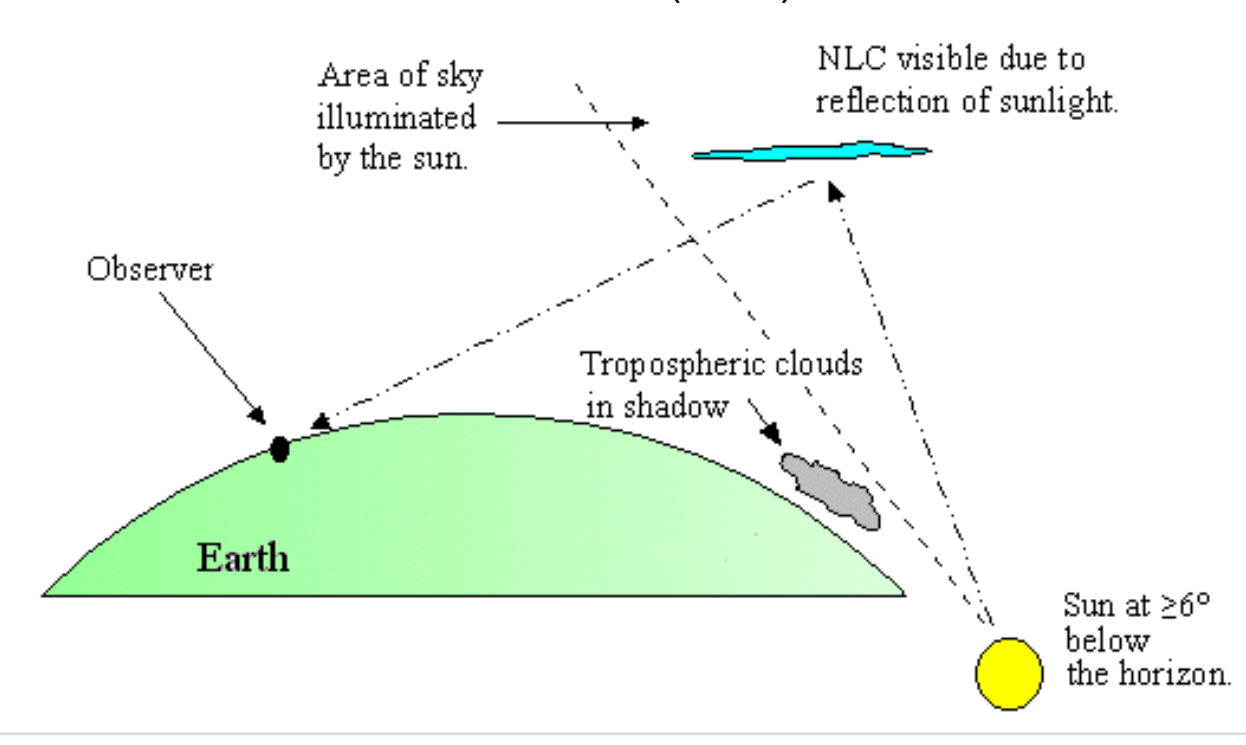
Bereich Mesopause: Leuchtende Nachtwolken



-> wellenmenter (voulen stationar)

Bereich Mesopause: Leuchtende Nachtwolken

- Leuchtende Nachtwolken (Noctilucent clouds, NLC): sdr trocken
 - Eiskristalle, die sich an Meteoritenstaub bilden
 - Mitte Mai bis Mitte August in Nordeuropa sichtbar (tiefste Temperatur Mesosphäre)
 - Häufigkeit: 1-5 Mal pro Jahr (NLC Saison) under warm transfigueit
 - Sonne muss zwischen 6 und 16° unter dem Horizont stehen
 - sichtbar in Gebieten >50°N/S (49°?) → siehe n\u00e4chste Folie ②







Bereich Mesopause: Leuchtende Nachtwolken

25.06.2021, 23:00 MESZ, Eggenstein © Fabian Siegmann



4.1.4 Thermosphäre

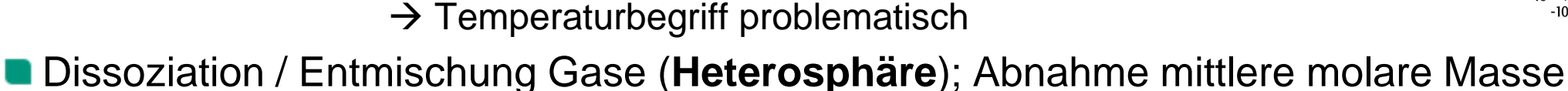
Stillstoff V Molderil a ...

Caler eig Boltzman-Vert.)

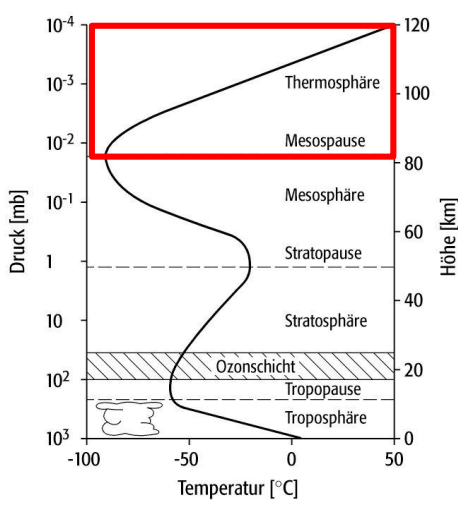
hin gastheorie statis tisch > in thermosp. In verige teilchen

Beir statistik

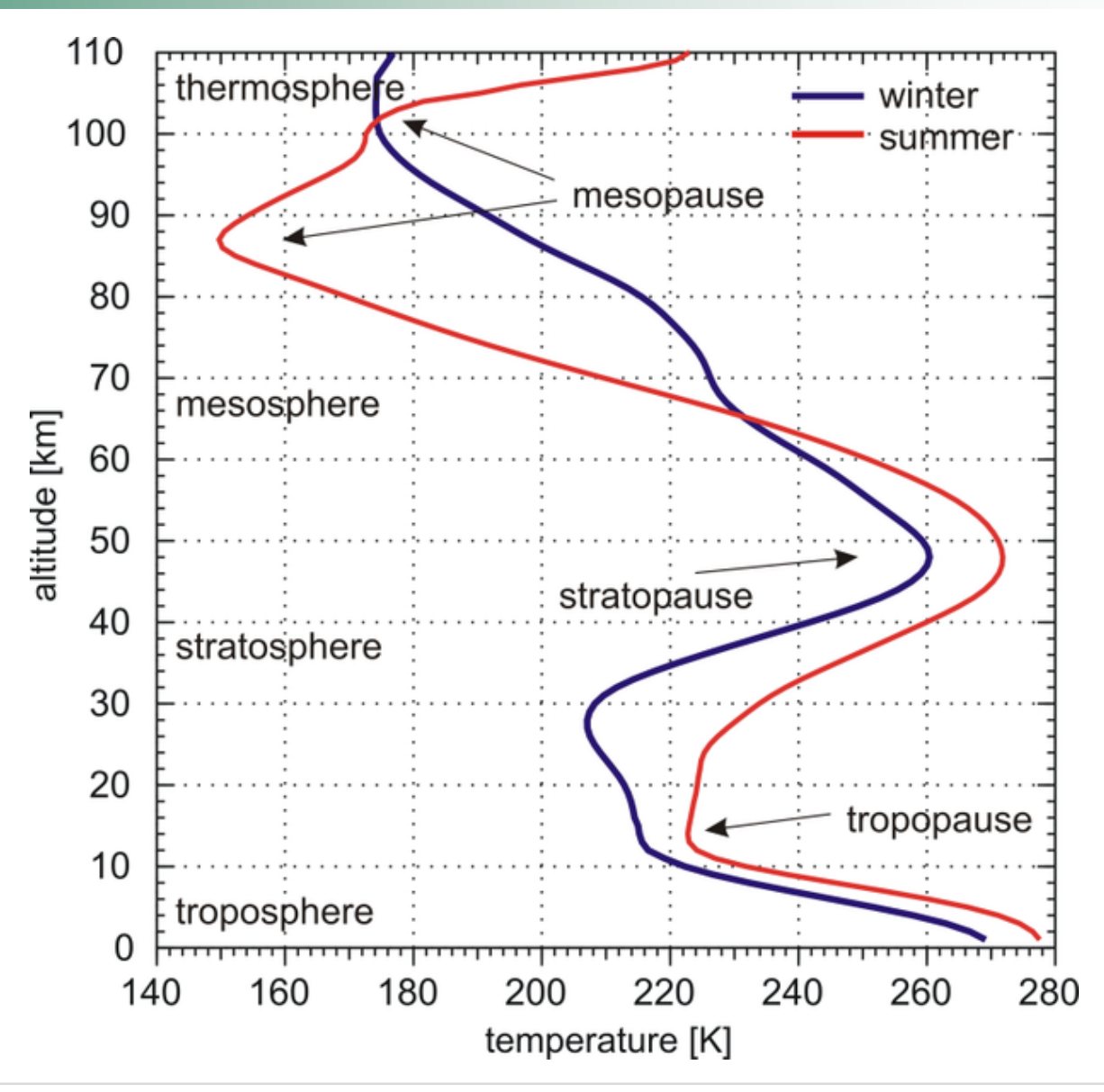
- Höhe ab Mesosphäre bis ca. 400 km
- Starke **Zunahme Temperatur** bis auf ca. 1000 K
 - Starke tageszeitliche Schwankungen (~100 K), abhängig von Sonnenaktivität
 - wenige Moleküle → kinetische Gastheorie (Statistik) nicht anwendbar



- Polarlichter (Aurora borealis), meist > 66.5° N/S Breite
 - Elektrisch geladene Teilchen der Magnetosphäre (v.a. Elektronen, auch Protonen) treffen auf schwere Ionen (Sauerstoff, Stickstoff) der Atmosphäre
 - Auslösung von Prozessen, die zu geänderten Elektronen-konfigurationen führen.
 - Abregung kurz danach: Aussenden von Licht (Fluoreszenz)

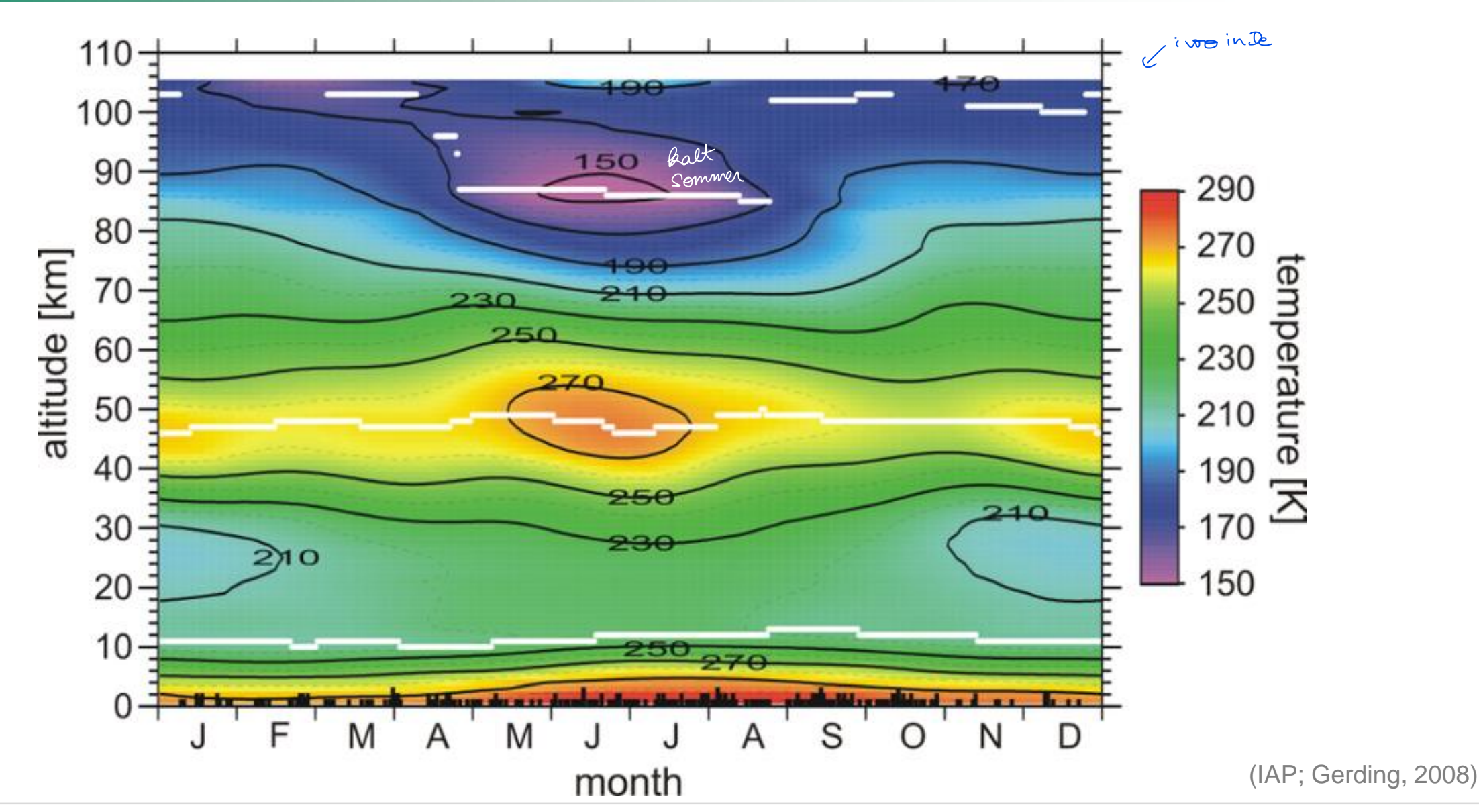


4.1 Zusammengefasst



(IAP; Gerding, 2008)

4.1 Zusammengefasst



Fragen über Fragen...

Dunkgradientarast!

alublen (heilong) Ft, tarbtrieb n Luftnaket? =

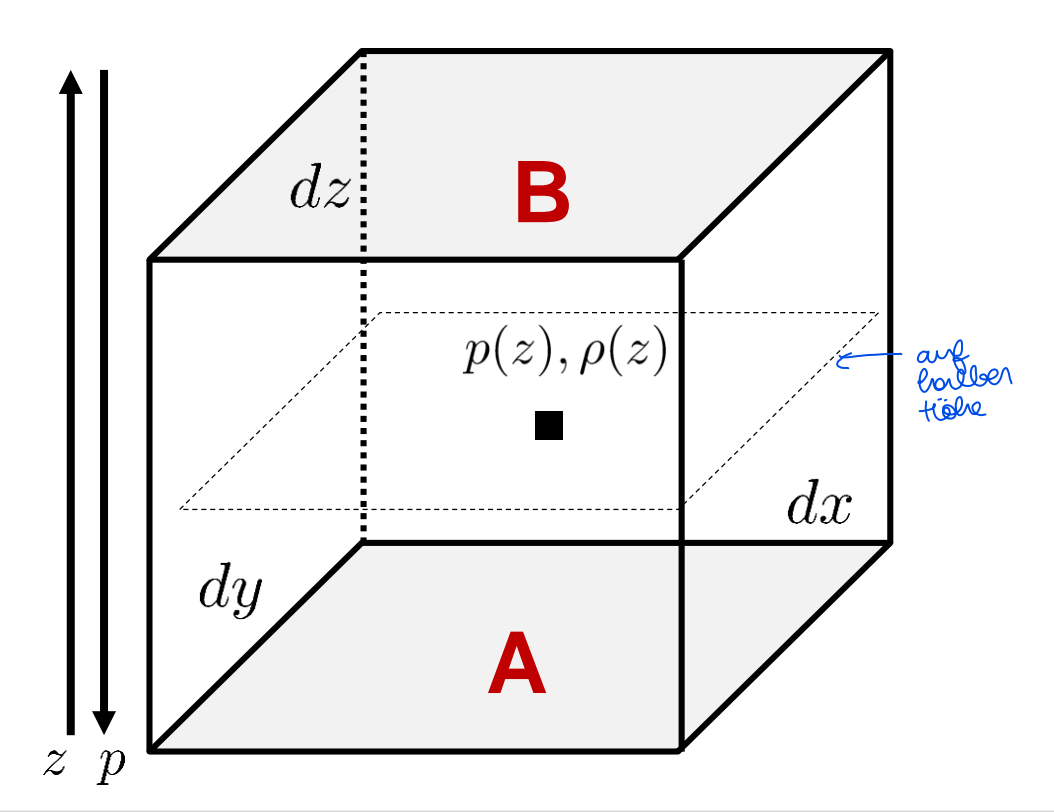
well st

- Welche Kräfte in vertikaler Richtung wirken auf ein Luftpaket?
- Wie ändert sich der Luftdruck mit der Höhe? Wie ändert sich der Wasserdruck mit der Tiefe?
- Wieso? wasser nicht beompressibel, luft schen (ap)
- Hat die Atmosphäre einen Oberrand? win

lineare Innalyme

- lacktriangleright Betrachtung: differentielles Volumenelement dV=dxdydz (refinite in the constant)
- Weiterhin gelte p=p(z) (damit ist $\partial p=dp$)
 Definition Druck: Gewichtskraft / Fläche $p=\frac{F}{A} \Leftrightarrow F=pA \to dF=pdA$

(1) Differentielle **Druckgradientkraft** auf Fläche **A/B** (vertikal)



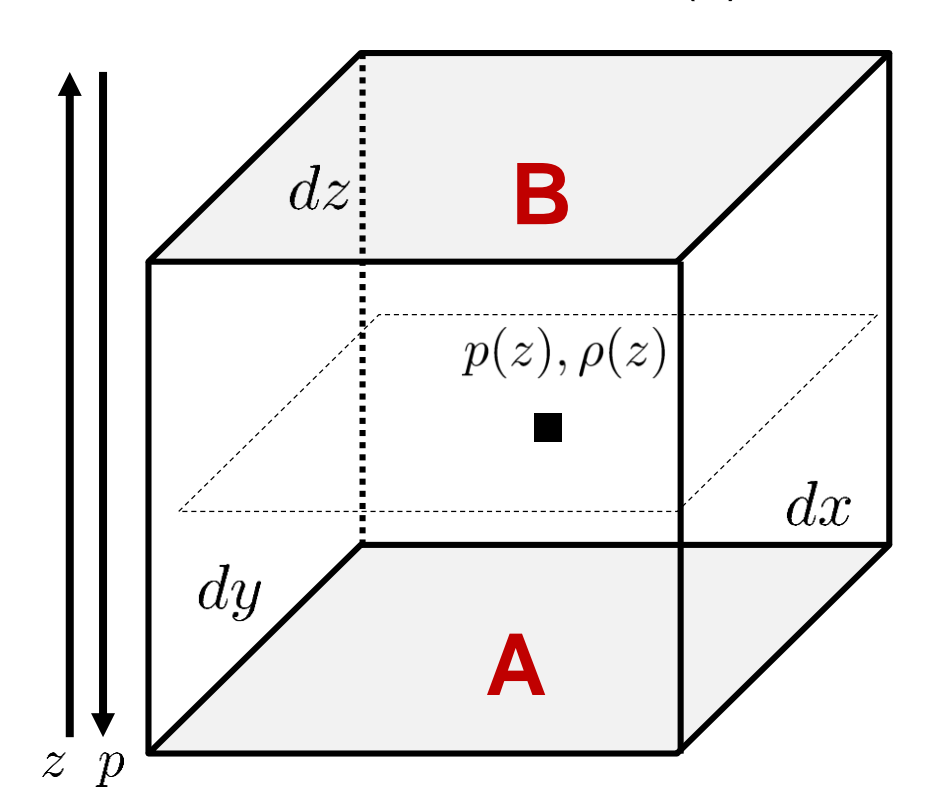
$$dF_B = \left(p(z) - \frac{dp}{dz} \frac{dz}{2}\right) \underbrace{dxdy}_{dA}$$

$$dF_A = \left(p(z) + \frac{dp}{dz} \frac{dz}{2}\right) dxdy$$



- **Betrachtung:** differentielles Volumenelement dV = dxdydz
- Weiterhin gelte p=p(z) (damit ist $\partial p=dp$)
 Definition Druck: Gewichtskraft / Fläche $p=\frac{F}{A} \Leftrightarrow F=pA \to dF=pdA$

(1) Differentielle **Druckgradientkraft** auf Fläche **A/B** (vertikal)



$$dF_B = \left(p(z) - \frac{dp}{dz}\frac{dz}{2}\right)dxdy$$

Differenz: $d(F_B - F_A) =$

$$= \left(p(z) - \frac{dp}{dz}\frac{dz}{2} - p(z) - \frac{dp}{dz}\frac{dz}{2}\right)dxdy$$

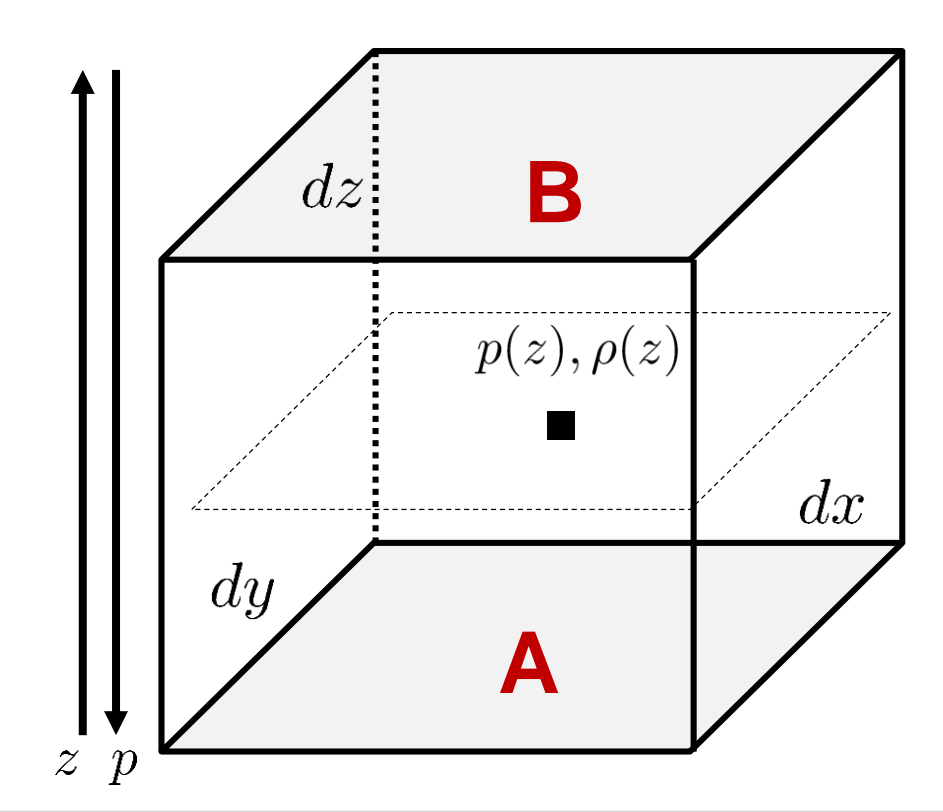
$$= -\frac{dp}{dz}dzdxdy = -\frac{dp}{dz}dV$$
(1)

$$dF_A = \left(p(z) + \frac{dp}{dz}\frac{dz}{2}\right)dxdy$$



- **Betrachtung:** differentielles Volumenelement dV = dxdydz
- Weiterhin gelte p=p(z) (damit ist $\partial p=dp$)
 Definition Druck: Gewichtskraft / Fläche $p=\frac{F}{A} \Leftrightarrow F=pA \to dF=pdA$

(1) Differentielle **Druckgradientkraft** auf Fläche **A/B** (vertikal)



$$d(F_B - F_A) = -\frac{dp}{dz}dV \tag{1}$$

(2) differentielle **Schwerkraft**

(2)

$$dF_G = dm \cdot g = \rho(z)dVg$$

gleichsetzen (1) und (2):

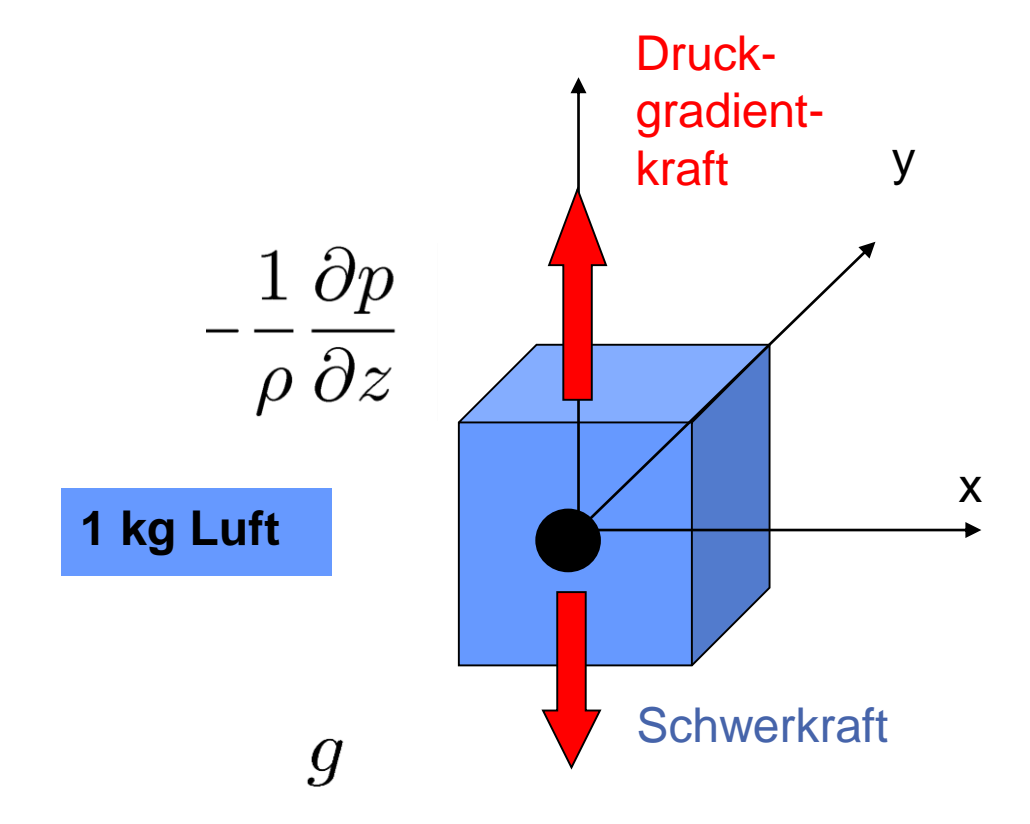
$$-\frac{dp}{dz}dV = \rho dVg$$
 \Rightarrow $\frac{dp}{dz} = -\rho g$

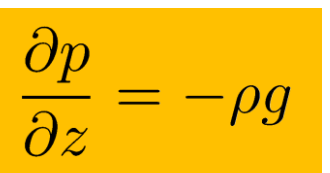
hydrostatische Approximation



 $\frac{\partial p}{\partial z} = -\rho g$

- / Kräfte vernachlässigt
- Balance zwischen (venn beine a, ansonsten woch zwätzliche knaft)
 - vertikaler Druckgradientkraft (nach oben hin gerichtet wegen negativem Vorzeichen)
 - Schwerkraft (zum Erdboden hin gerichtet)





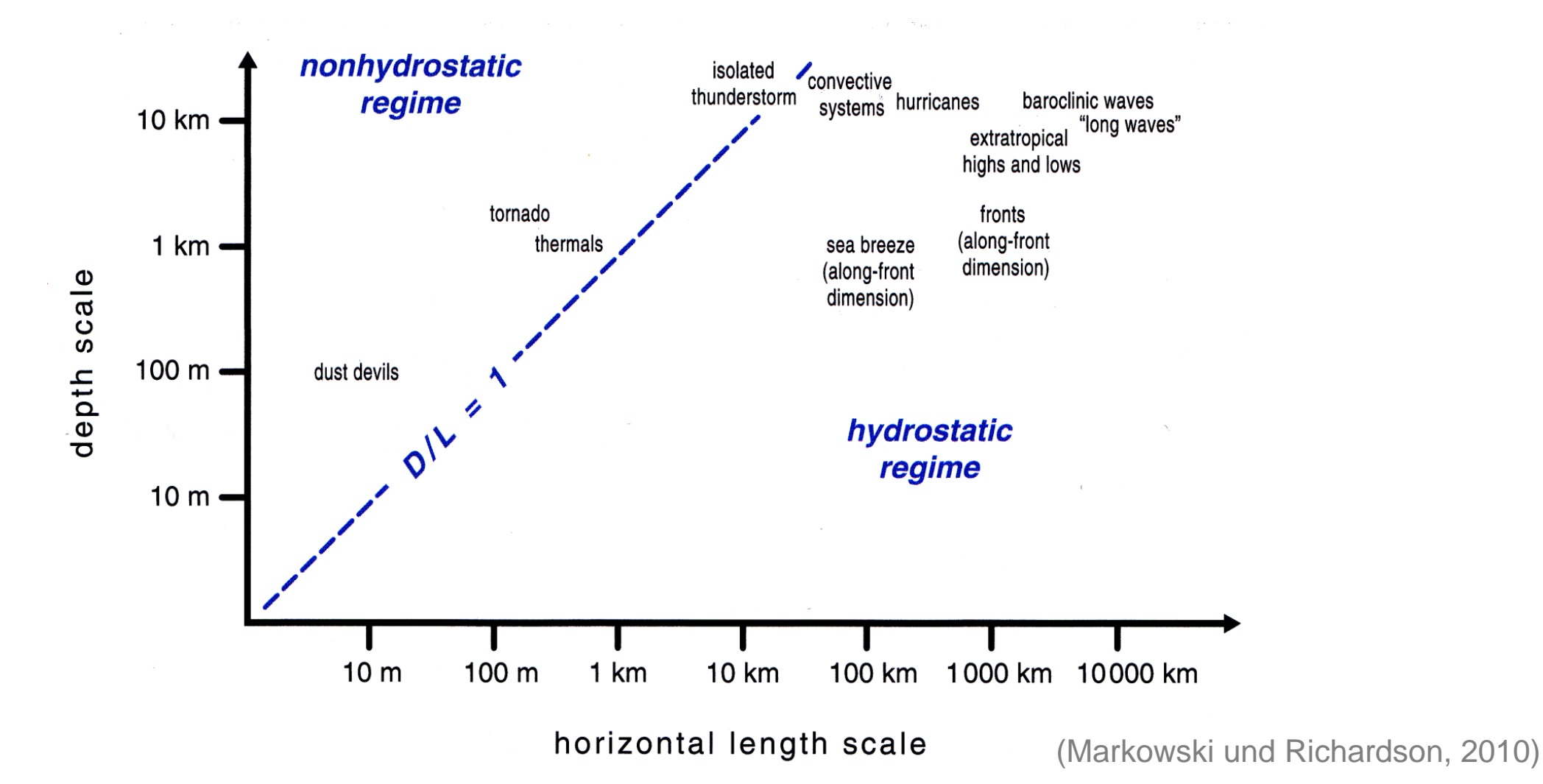
Bemerkungen

- Bezeichnung: hydrostatische Approximation sinnvoller als hydrostatische Grundgleichung
- Wettervorhersagemodelle Vergangenheit oftmals hydrostatisch
- Bedingung: keine Vertikalbeschleunigungen (nicht berücksichtigt bei Herleitung); Vertikalgeschwindigkeit ist aber möglich
- Herleitung aus Bewegungsgleichung: Skalenanalyse für großräumige Wettersysteme
 → im Mittel gültig für große Raumskalen ~O(100 km)



$\frac{\partial p}{\partial z} = -\rho g$

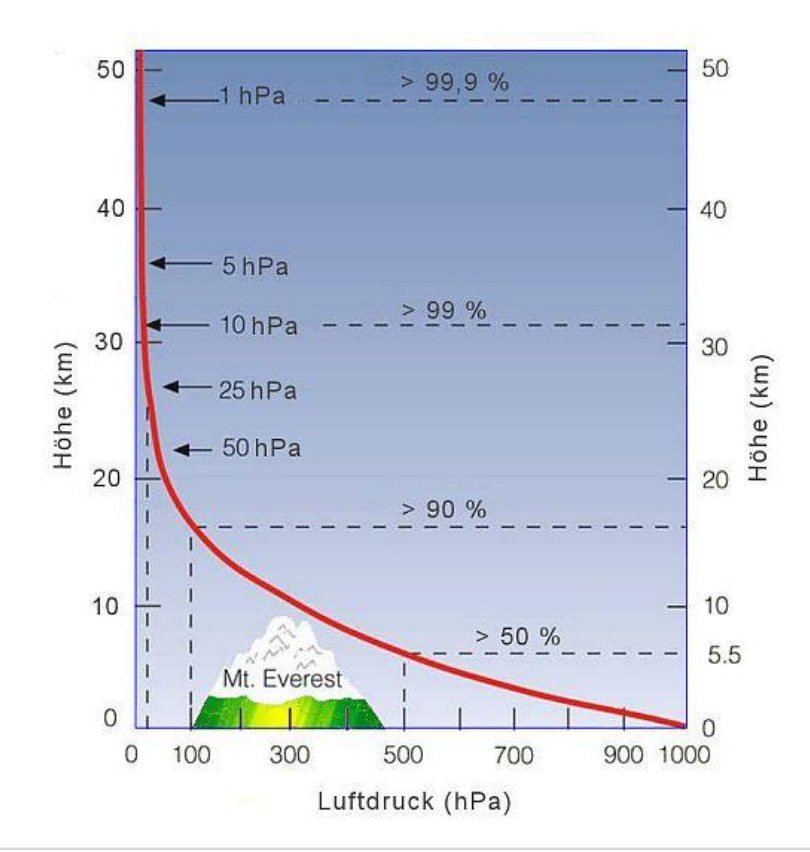
Wettersysteme und hydrostatische Annahme

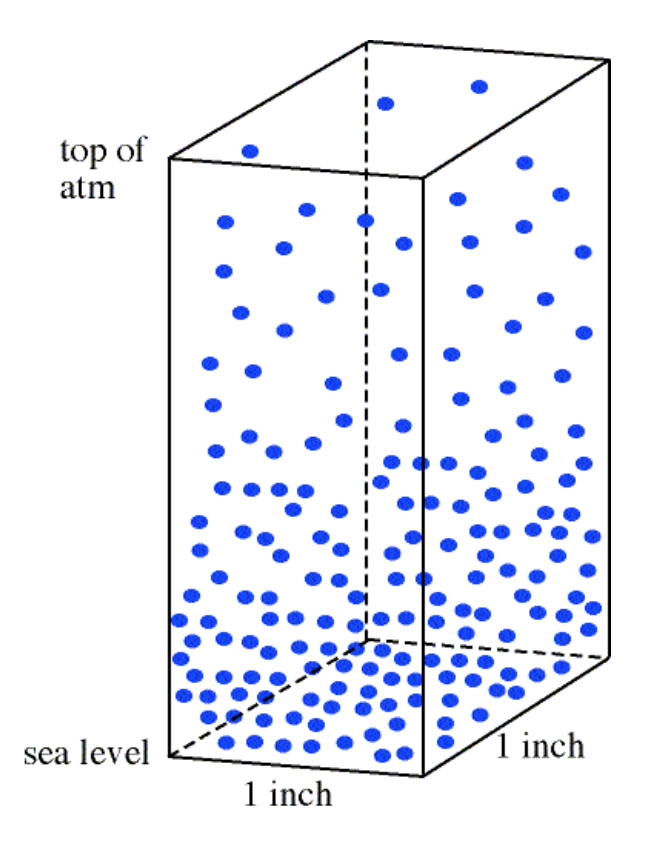


4.3 Modellatmosphären

Verlauf Luftdruck in der realen Atmosphäre

- **Luftdruck:** Gewichtskraft der Atmosphäre oberhalb von z
- Auf Meereshöhe ca. 10⁵ Pa ~ 10⁴ kg (Normalbed.: 1013.25 hPa)
- **Exponentielle Druckabnahme** mit der Höhe wg. Kompressibilität Luft





4.3 Modellatmosphären

Modellatmosphären

$$\frac{\partial p}{\partial z} = -\rho g$$

$$p = \rho R_L T$$

p: Druck

z: Höhe

 ρ : Dichte

g: Schwerebeschl.

T: Temperatur

R_L: Gaskonstante für Luft (trocken)

hydrostatische Approximation

Zustandsgleichung

- (a) Homogene Atmosphäre (isochor; $\rho = \text{const.}$)
- (b) Isotherme Atmosphäre (T = const.)
- (c) Polytrope Atmosphäre (Temp-Abnahme $\frac{\partial T}{\partial z}$ = const.)

4.3.1 Homogene Atmosphäre

Homogene Atmosphäre:

$$\rho = const.$$

Herleitung über hydrostatische Approximation (substantiell)

$$\frac{dp'}{dz'} = -\rho g = const.$$

$$\Leftrightarrow dp' = -\rho g dz'$$
(1)

$$\Leftrightarrow dp' = -\rho g dz' \tag{2}$$

$$\Rightarrow \int_{p_o}^p dp' = -\rho g \int_{z=0}^z dz' \tag{3}$$

$$\Rightarrow [p]_{p_0}^p = p - p_0 = -\rho g[z]_{z=0}^z = -\rho gz \tag{4}$$

$$p(z) = p_0 - \rho g z$$

- Lineare Druckabnahme mit der Höhe in der homogenen Atmosphäre
 - z.B. für einfache Abschätzung Druckänderung in untere Höhen; Faustformel: ~ 1 hPa / 9 m
- Homogene Atmosphäre hat eine Obergrenze (Auflösung von Gleichung (4) nach z, p=0 ergibt mit typischen Werten $H \sim 8 \text{ km}) \rightarrow \text{Übung}$



Wir fassen zusammen...

- Schichtenaufbau Atmosphäre
 - Troposphäre (bis 8 16 km); Wettersysteme
 - Stratosphäre (bis ~ 50 km); Erwärmung durch Ozonchemie
 - Mesosphäre (bis ~ 80 km);
 - Thermosphäre; Temperaturbegriff nicht sinnvoll;
- Stratosphäre Ozon O₃:
 - Maximum in Stratosphäre, 20-30 km; bestimmt Temperaturprofil dort
 - Photochemisches Gleichgewicht: Chapman-Zyklus
 - Ozonabbau (ungebremst) durch Radikale: OH, CI
 - Dicke Ozonschickt ~3 mm unter Normalbedingungen (Mrt. Erde gladt)
- Mesosphäre: Temperaturabnahme am stärksten im Sommer wg. Zirkulation Sommer- zum Winterpol und Hebung; NLC
- Thermosphäre: heiß; wenige Gase; Entmischung Gase
- Hydrostatische Approximation: Gleichgewicht Schwerkraft (zum Boden gerichtet) und Druckgradientkraft (nach oben); gilt nur für größere Raumskalen

$$\frac{\partial p}{\partial z} = -\rho g$$

Homogene Atmosphäre (ρ = const.): lineare Druckabnahme; Atmosphäre hat "Oberrand"